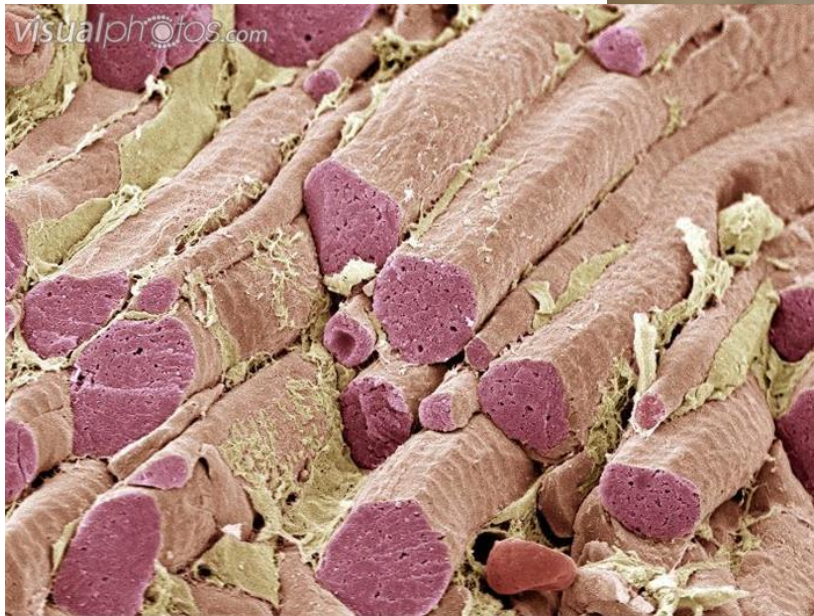
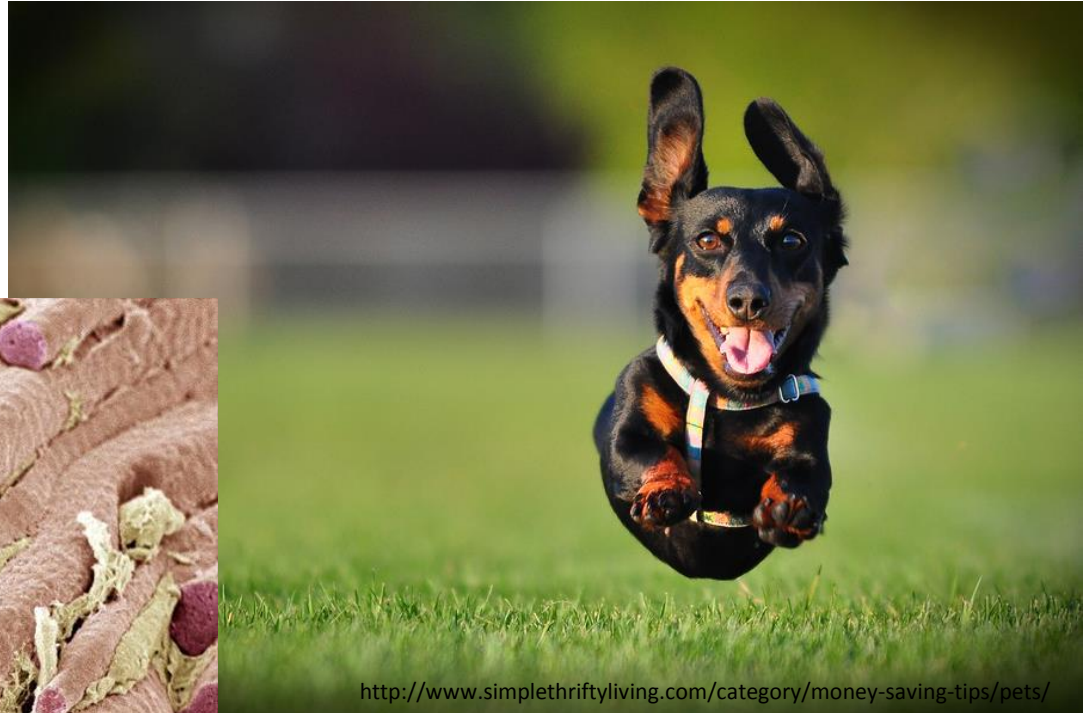


# Pohyb a svaly

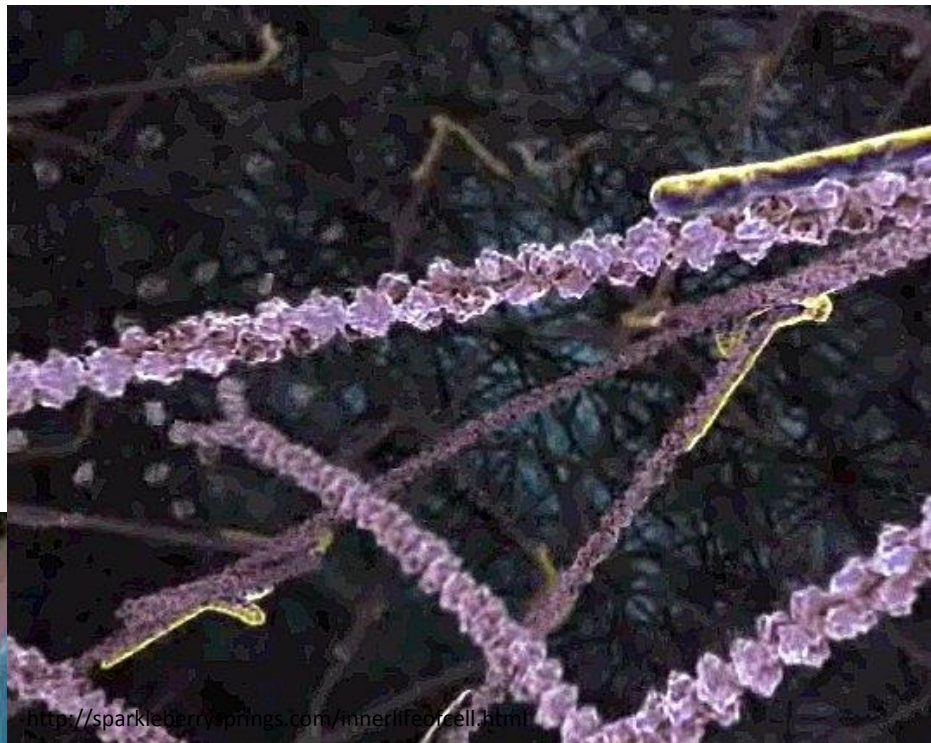


F0010030 [RF] © www.visualphotos.com

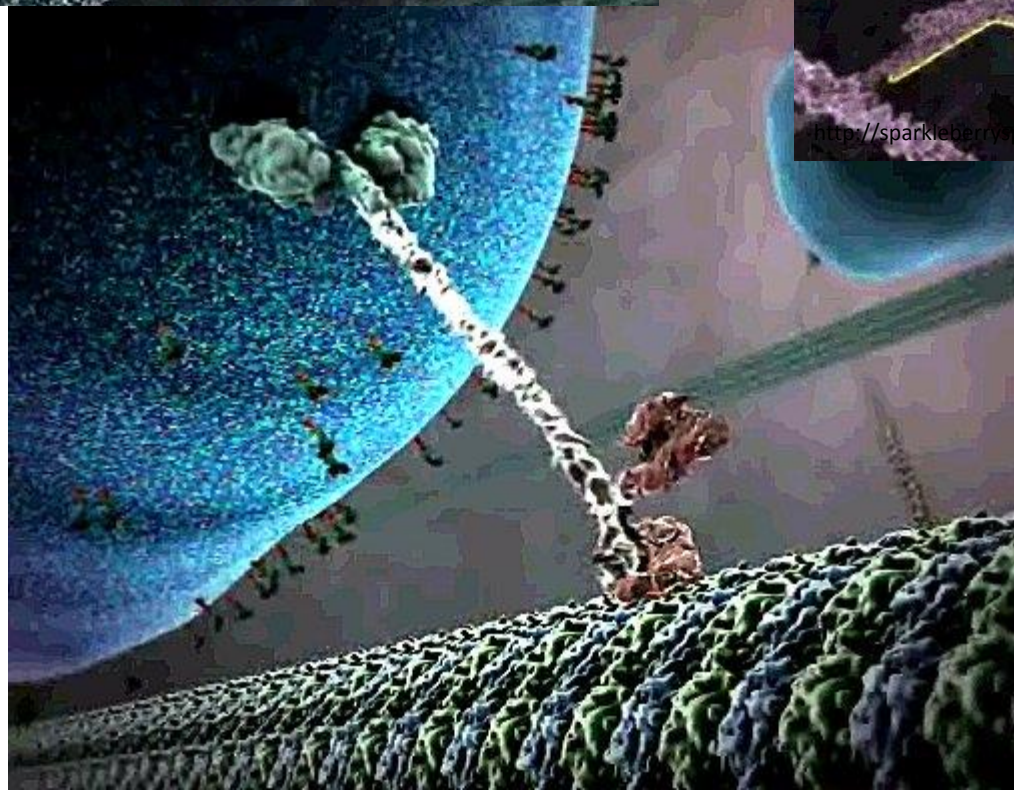


<http://www.simplethriftyliving.com/category/money-saving-tips/pets/>

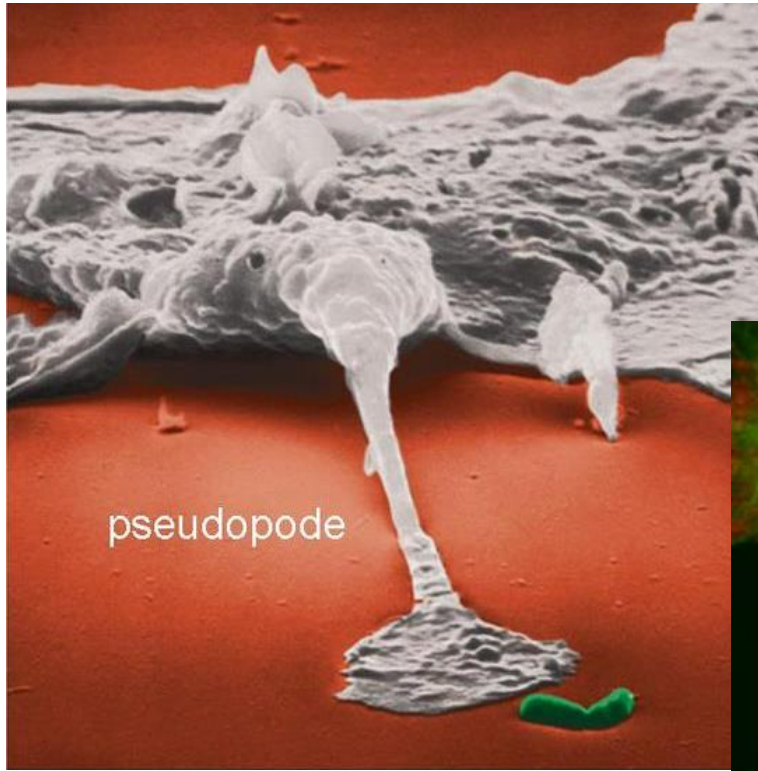
Jeden ze základních rysů  
života.



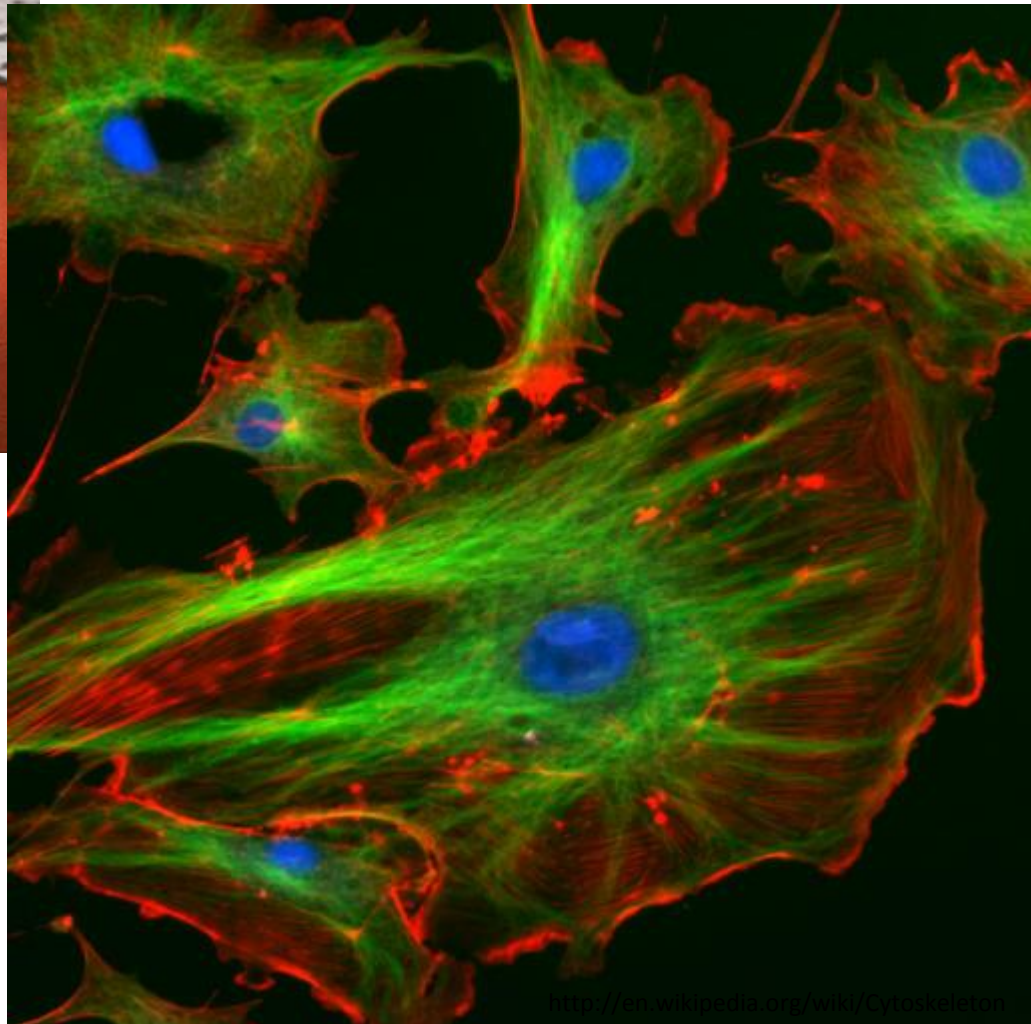
<http://sparkleberry springs.com/innerlifeofcell.html>



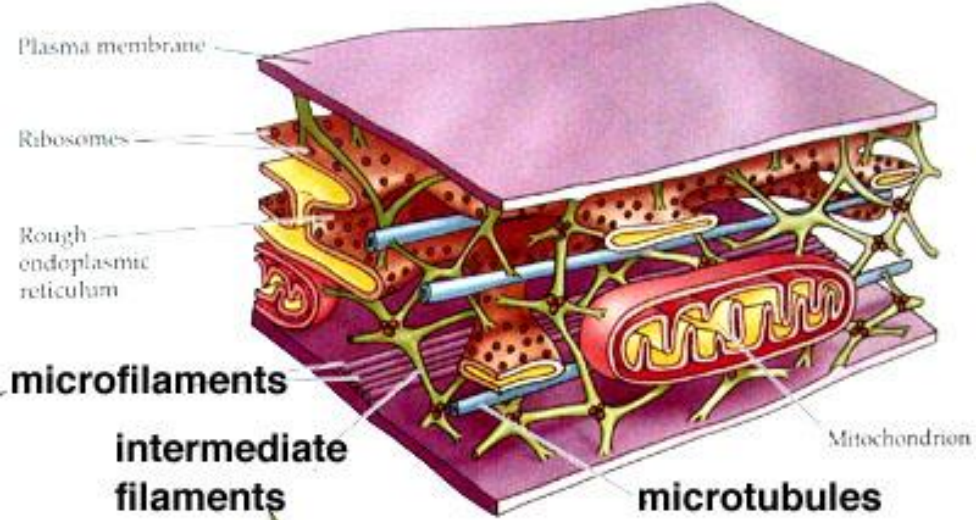
Pohyb v buňce je možný díky cytoskeletu.



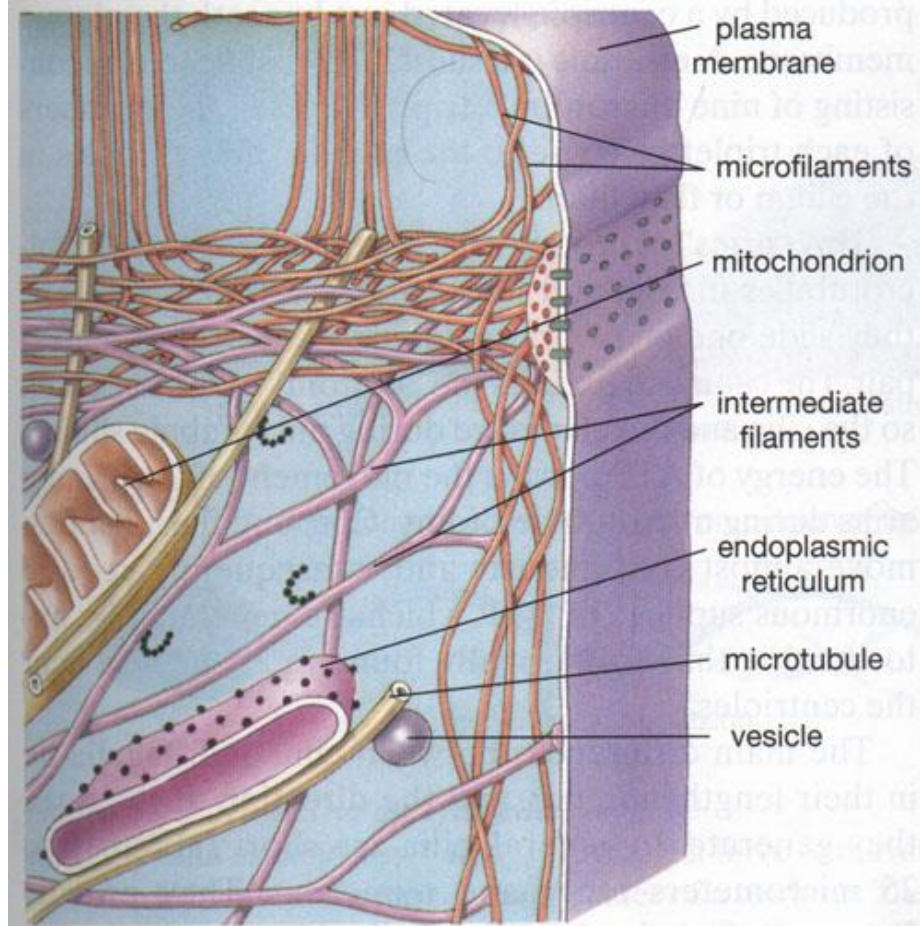
Pohyb celých buněk zajišťuje cytoskelet => bez cytoskeletu není aktivní pohyb

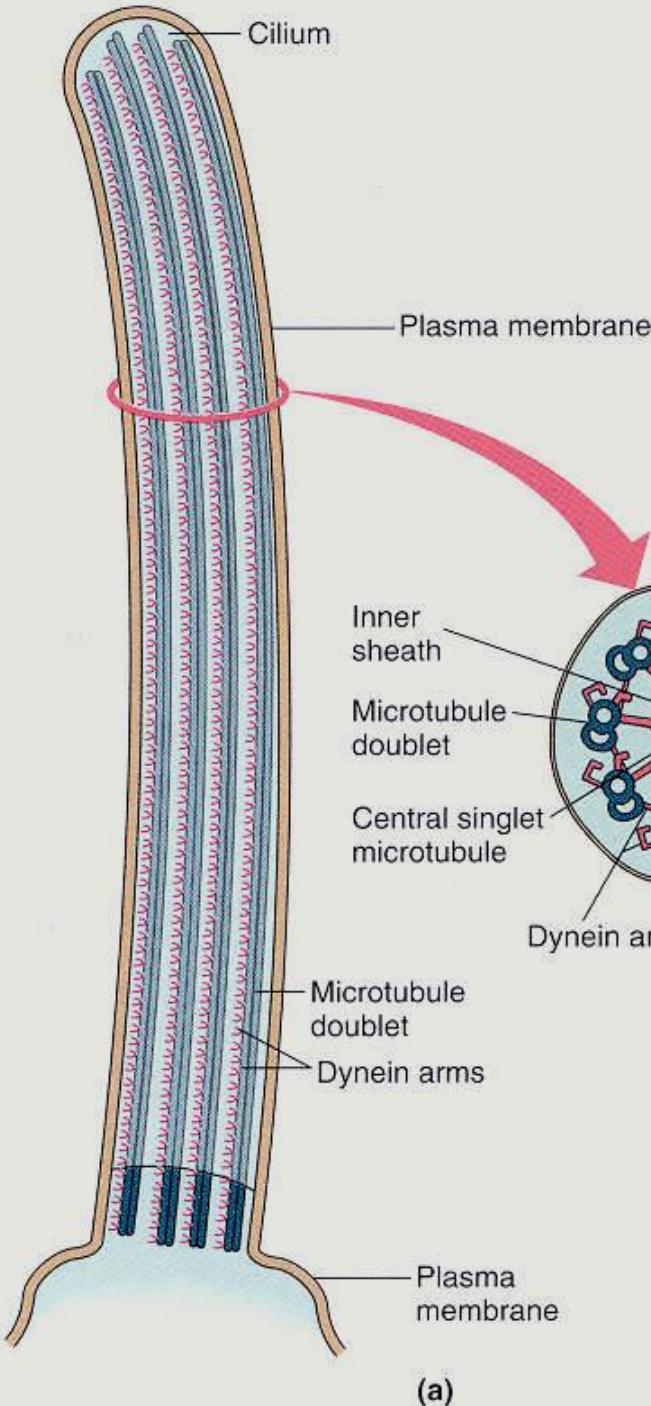


# Cytoskelet



3 typy filament





**Figure 2–27 • Internal structure of cilia and flagella.**

(a) Schematic diagram of a cilium in cross-section showing the characteristic “nine plus two” arrangement of microtubules with the dynein arms and other accessory proteins. (b) Electron micrograph of numerous cilia in cross-section.

(Source: Adapted from *Molecular Biology of the Cell*, Fig. 10-27, p. 565 by Bruce Alberts, Dennis Bray, Julian Lewis, Martin Raff, Keith Roberts, and James D. Watson. Reprinted with permission of Garland Science/Taylor & Francis Books, Inc.)

## Mikrotubulární struktura řasinky, brvy – cile a bičíku, brvy - flagellum

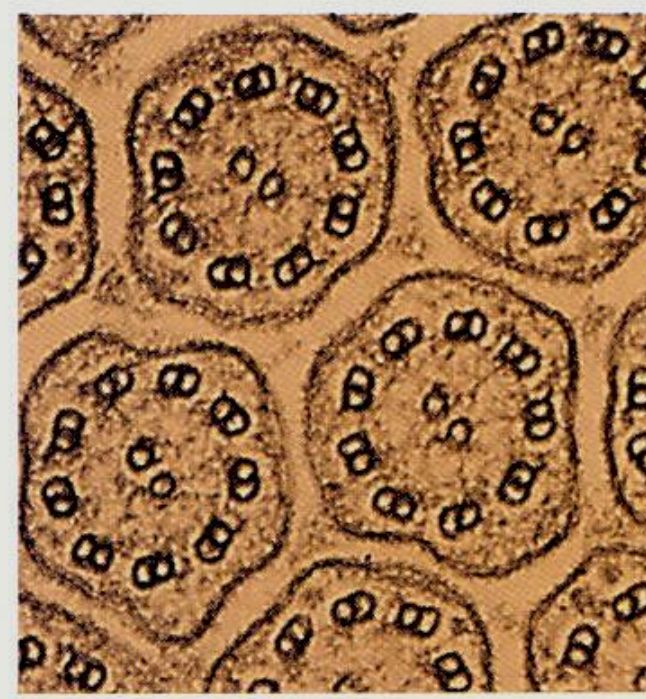
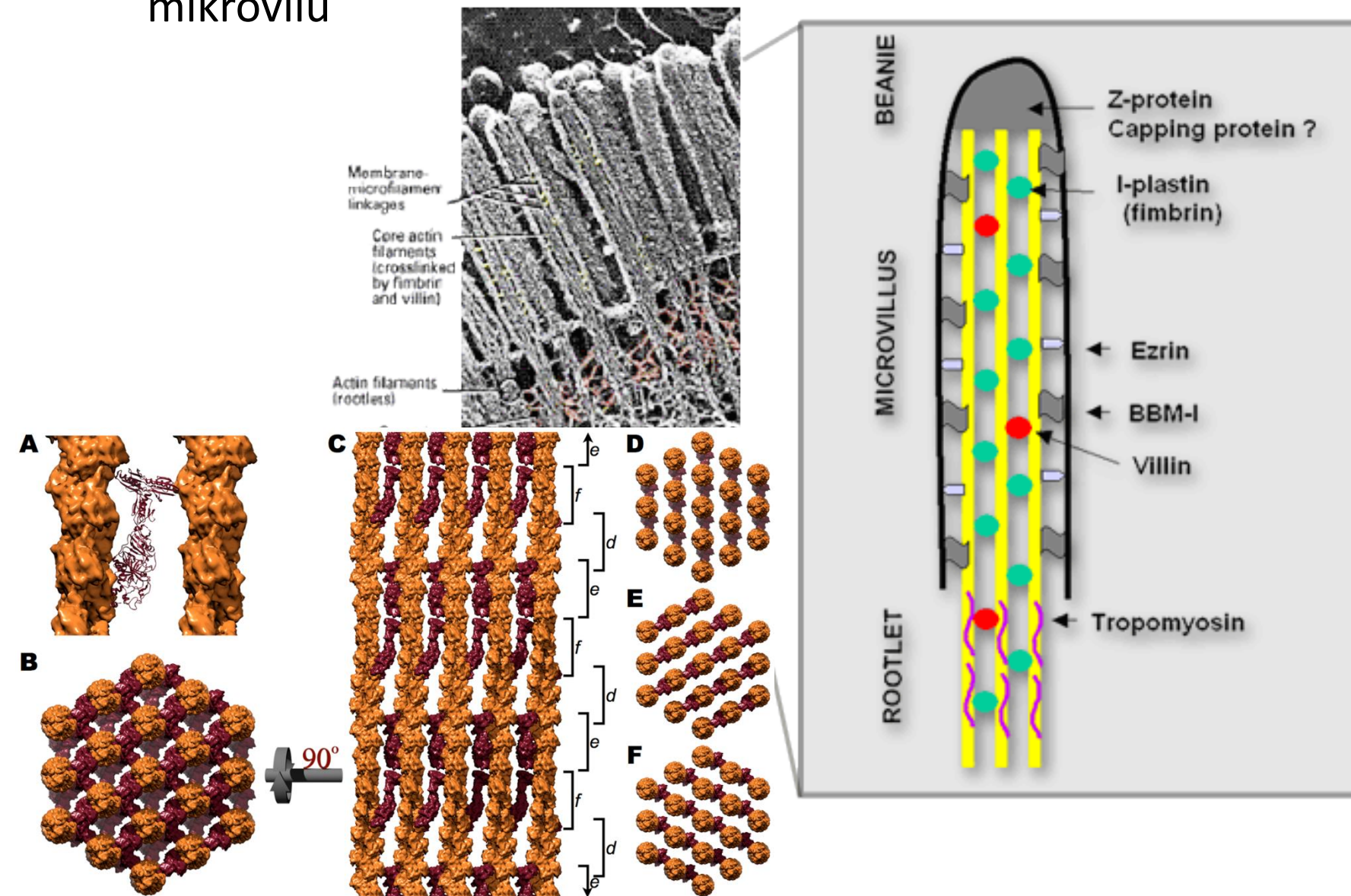


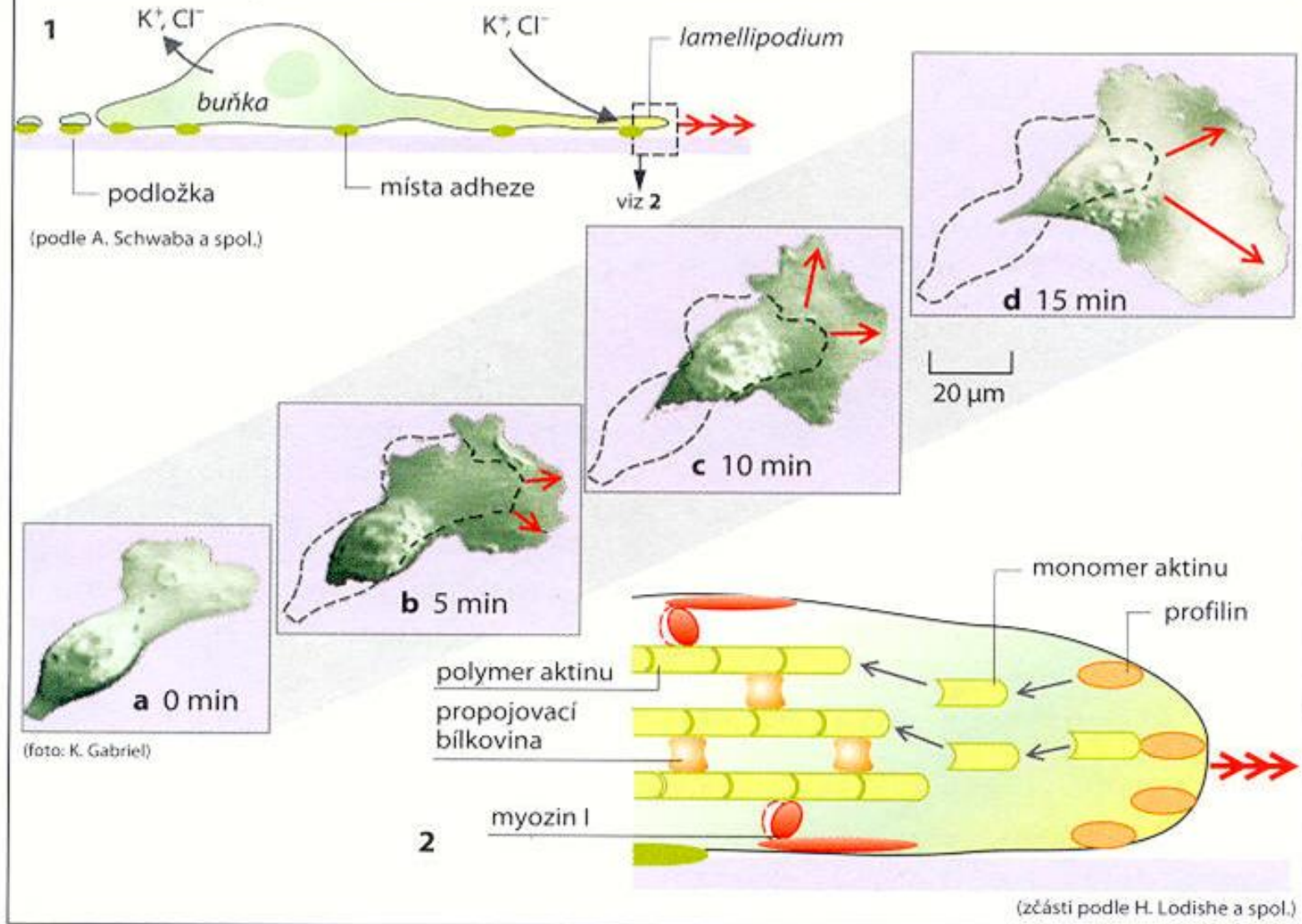
Photo: © David M. Phillips/Visuals Unlimited

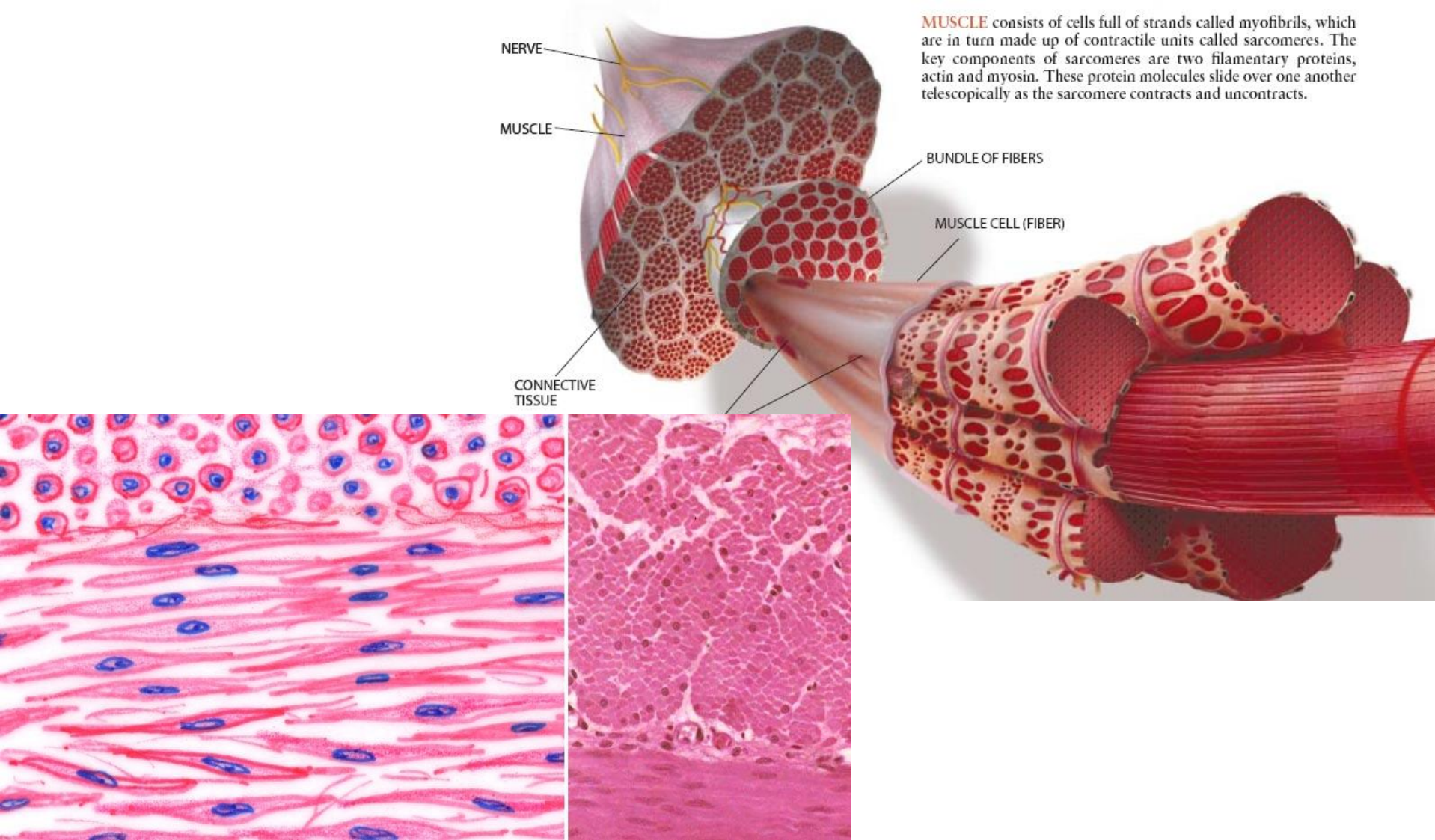
# Mikrofilamentární (aktinová) struktura střevního mikroklku - mikrovilu



# Améboidní pohyb a úloha mikrofilament

## E. Buněčná migrace

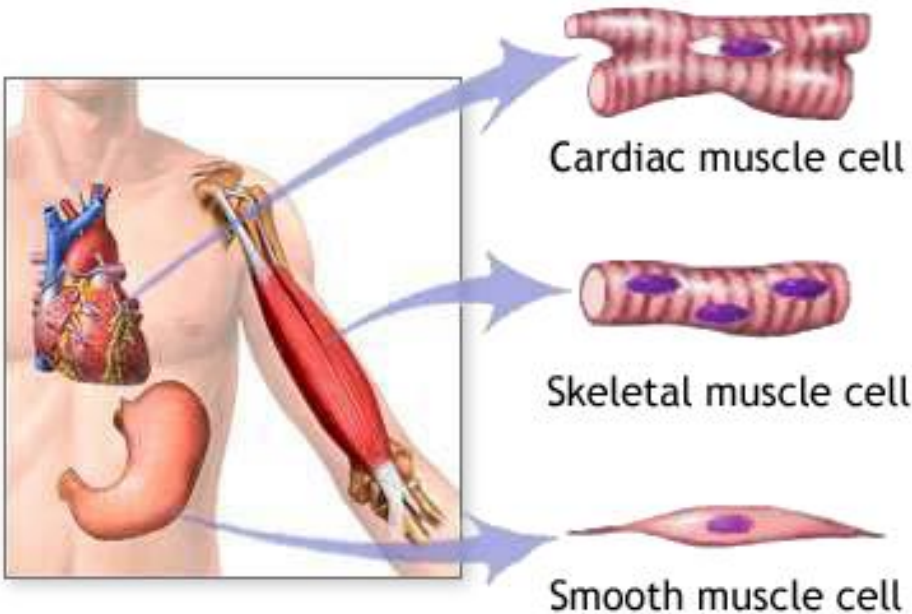




**MUSCLE** consists of cells full of strands called myofibrils, which are in turn made up of contractile units called sarcomeres. The key components of sarcomeres are two filamentary proteins, actin and myosin. These protein molecules slide over one another telescopically as the sarcomere contracts and uncontracts.

Svaly využívají buněčného pohybového aparátu. Pohyb svalů a tedy i celých živočichů je možný díky uspořádané stažlivosti spolupracujících buněk.

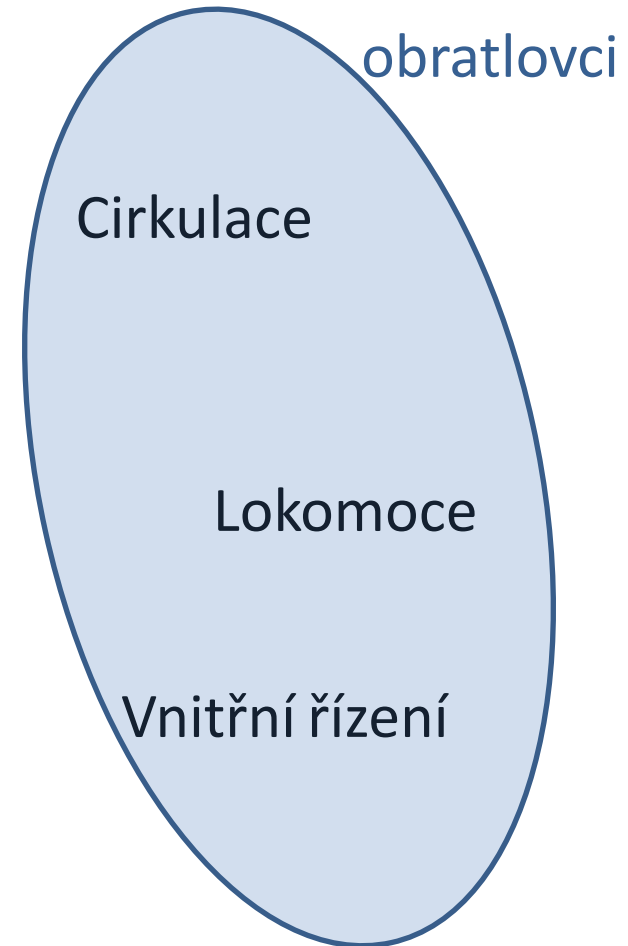
# Tři typy svalů



ADAM

Neplatí u všech živočichů:

- U měkkýšů pouze hladká svalovina.
- U hmyzu pouze žíhaná.

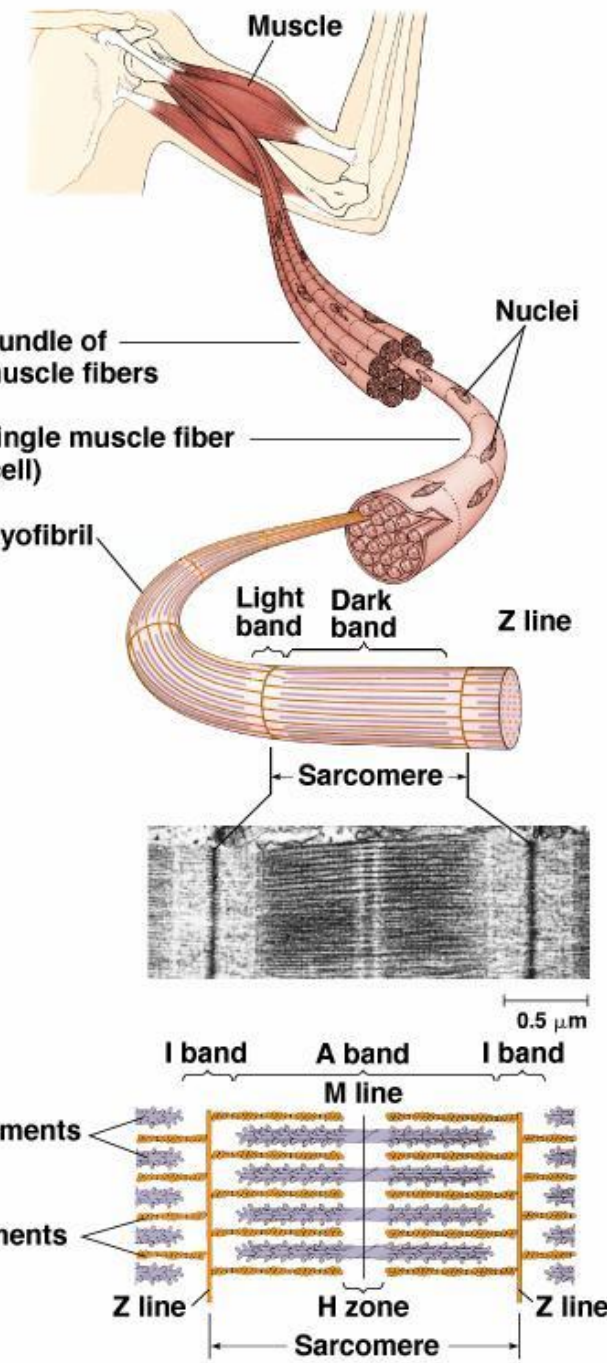
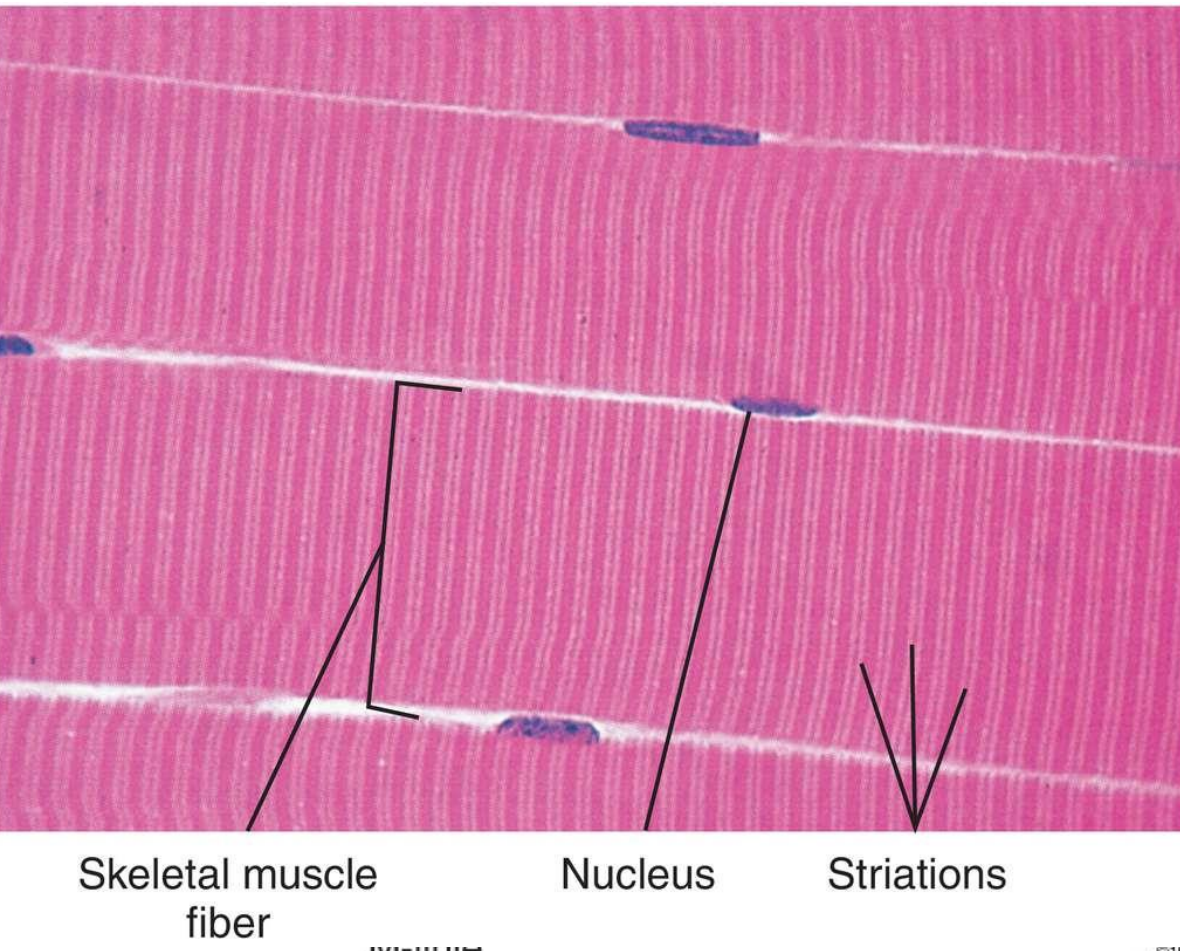


# Stavba kosterního svalu

Proužkování kosterního svalu.

Myofibrily tvoří svalové vlákno.

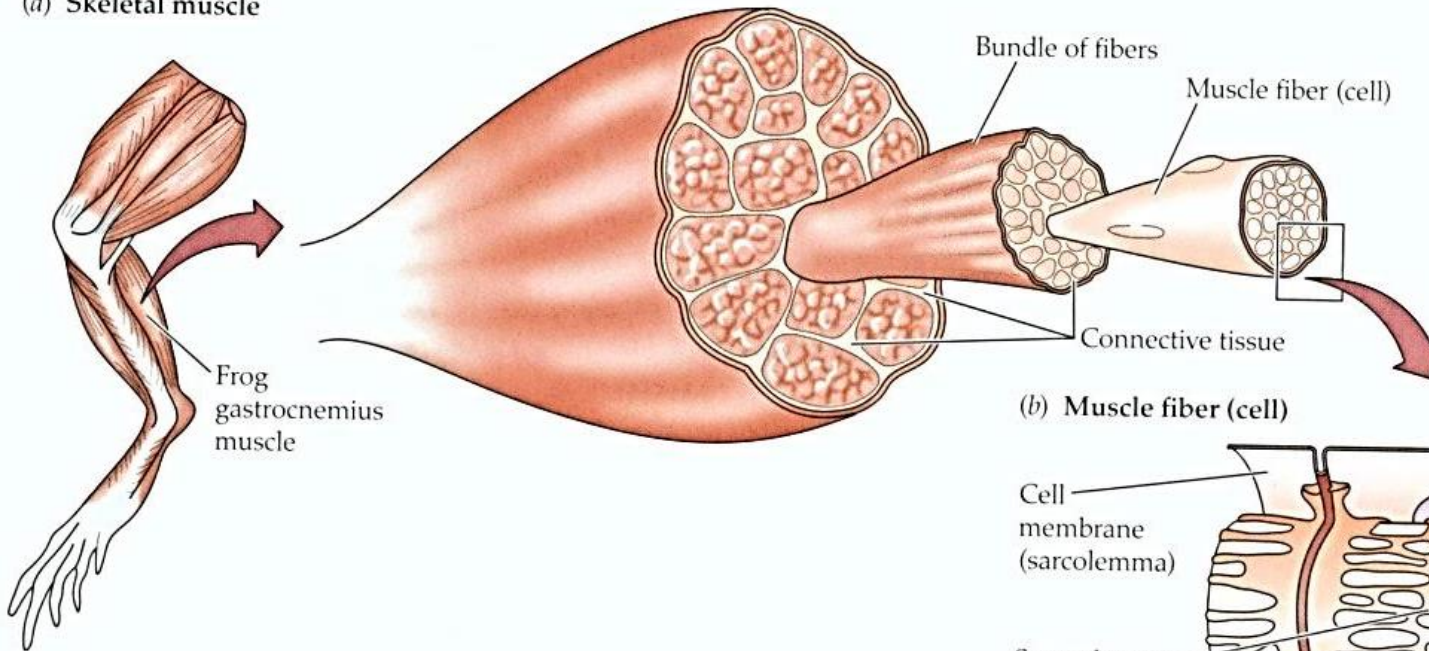
Cytoplasma vyplněna cytoskeletem.



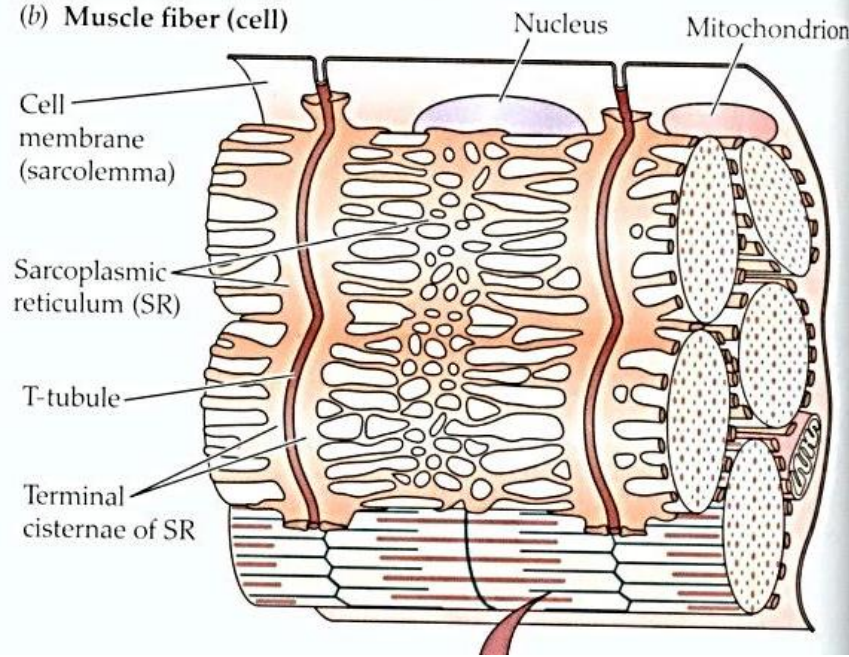
# Stavba kosterního svalu

Mitochondrie (sarkozomy) a  
sarkoplasmatické retikulum

(a) Skeletal muscle

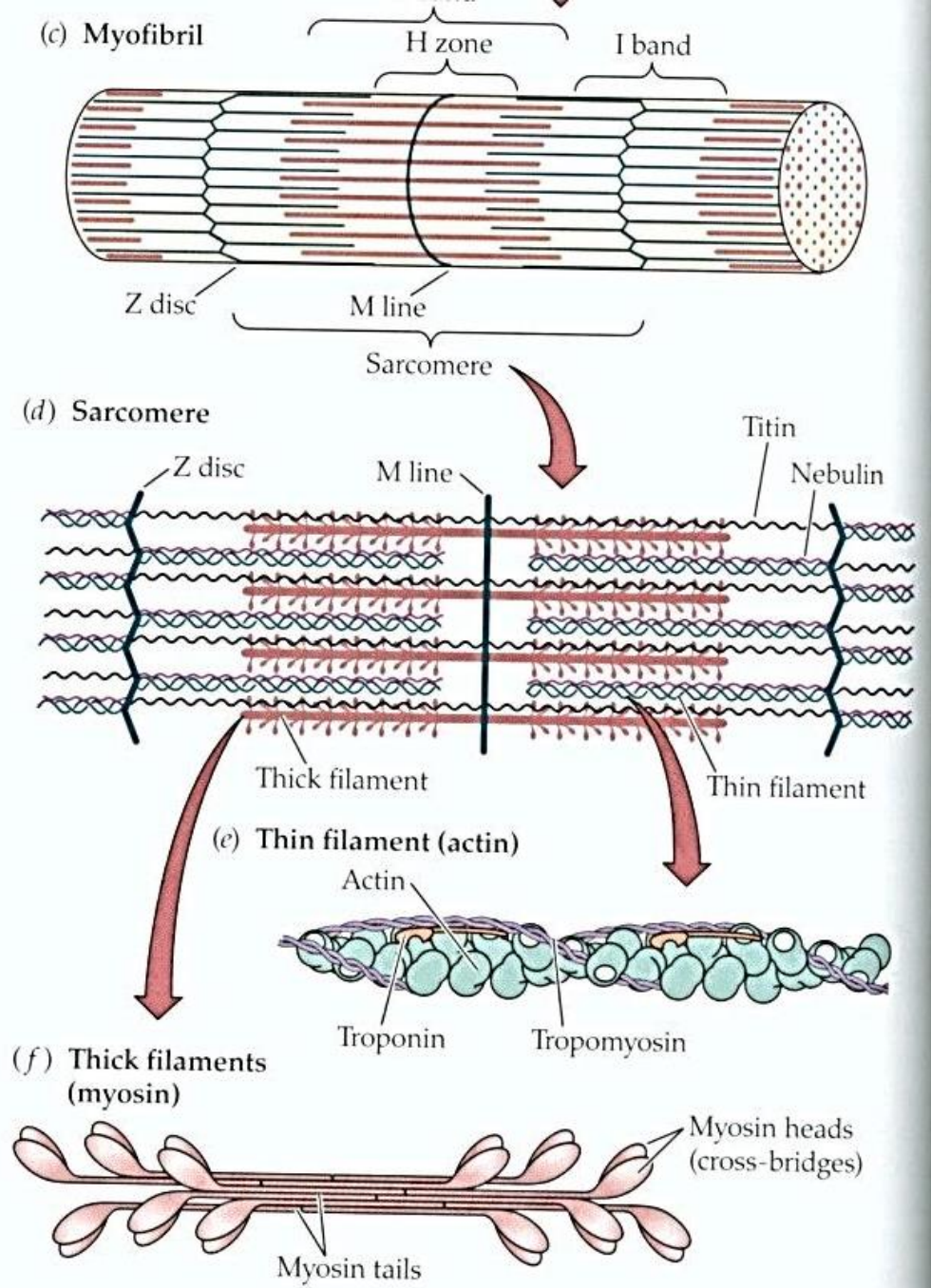
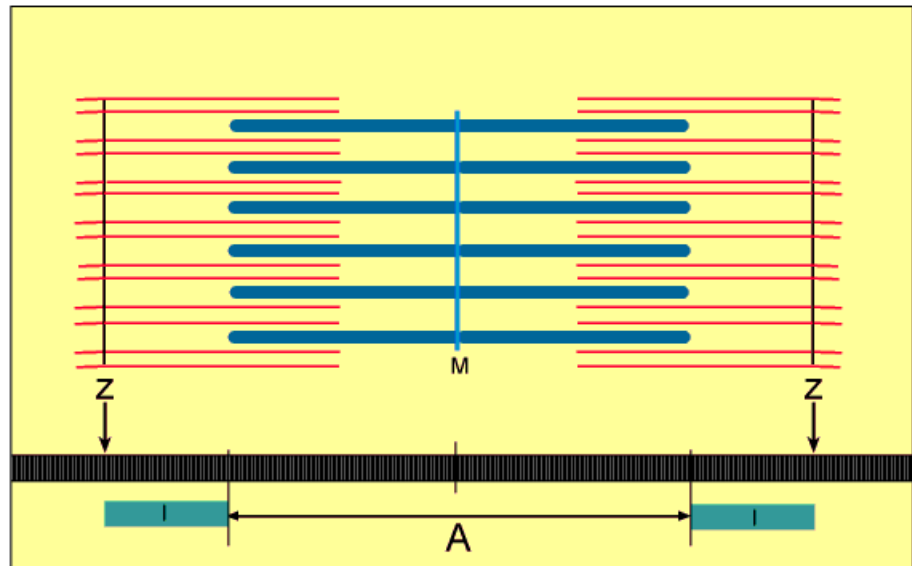


(b) Muscle fiber (cell)



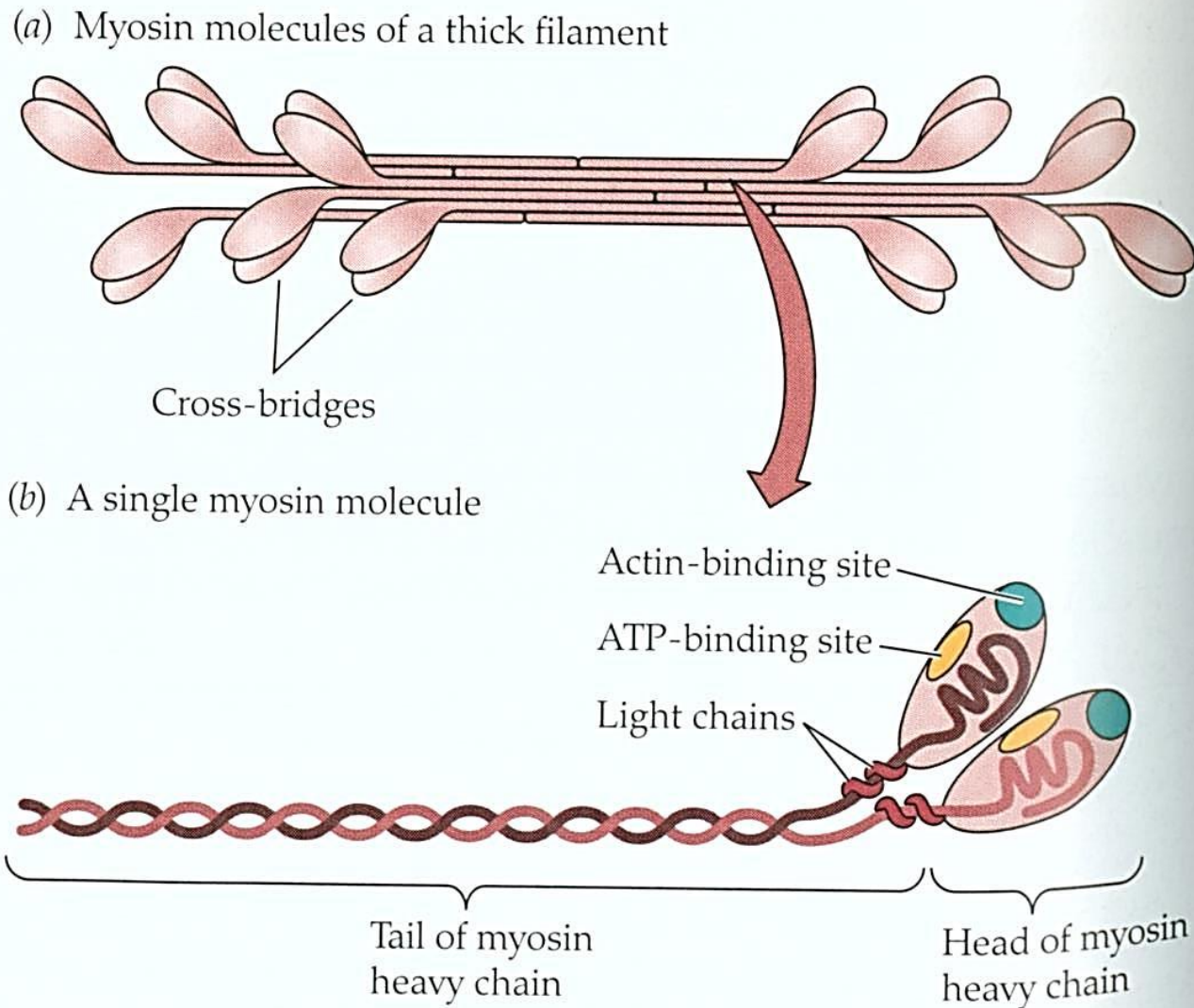
# Stavba myofibrily

Součásti aktivní, pasivní (nebulin), regulační, elastické (titin)



# Stavba myosinové fibrily

Myosinové hlavy mají dvě vazebná místa. Jedno pro ATP s ATPázovou aktivitou, druhé pro aktin.

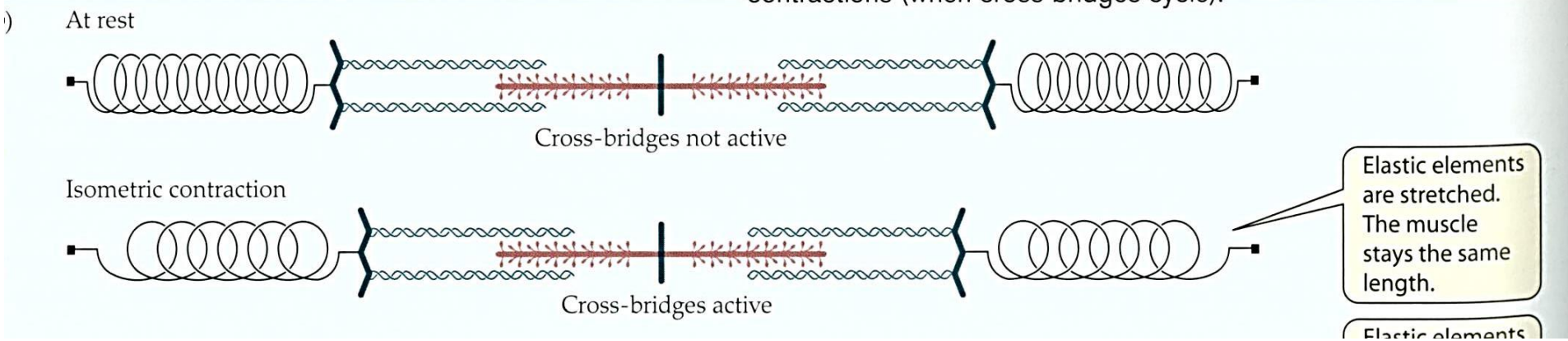


# **Animace spolupráce aktinu a myozinu**

Spolupráce mnoha můstků – molekulární děje

Molekulární organizace sarkomery

# Stavba myofibrily



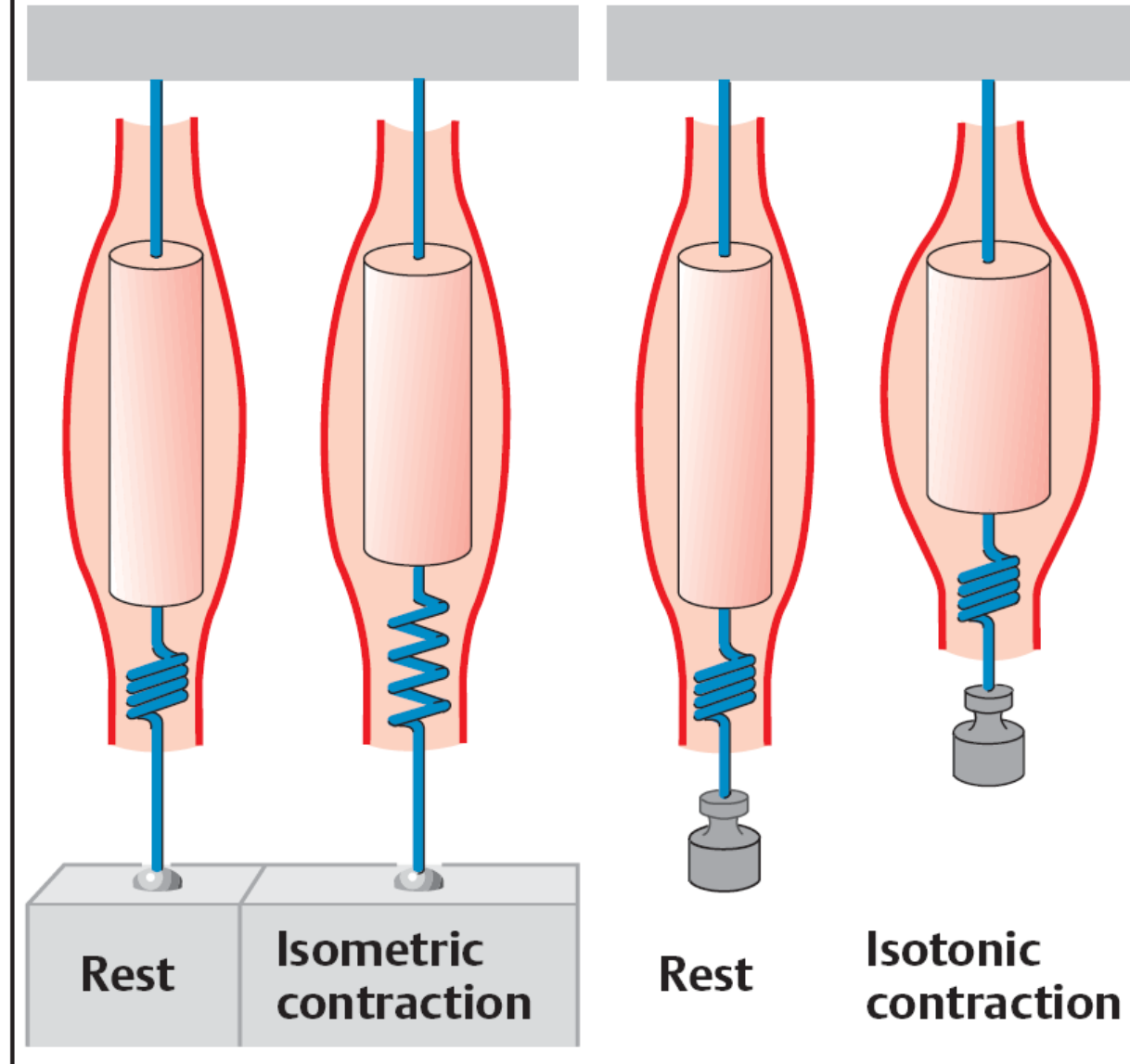
Elastické elementy umožňují izometrickou kontrakci

# Typy stahu

Izometrická a izotonická kontrakce

Práce elastickej komponenty

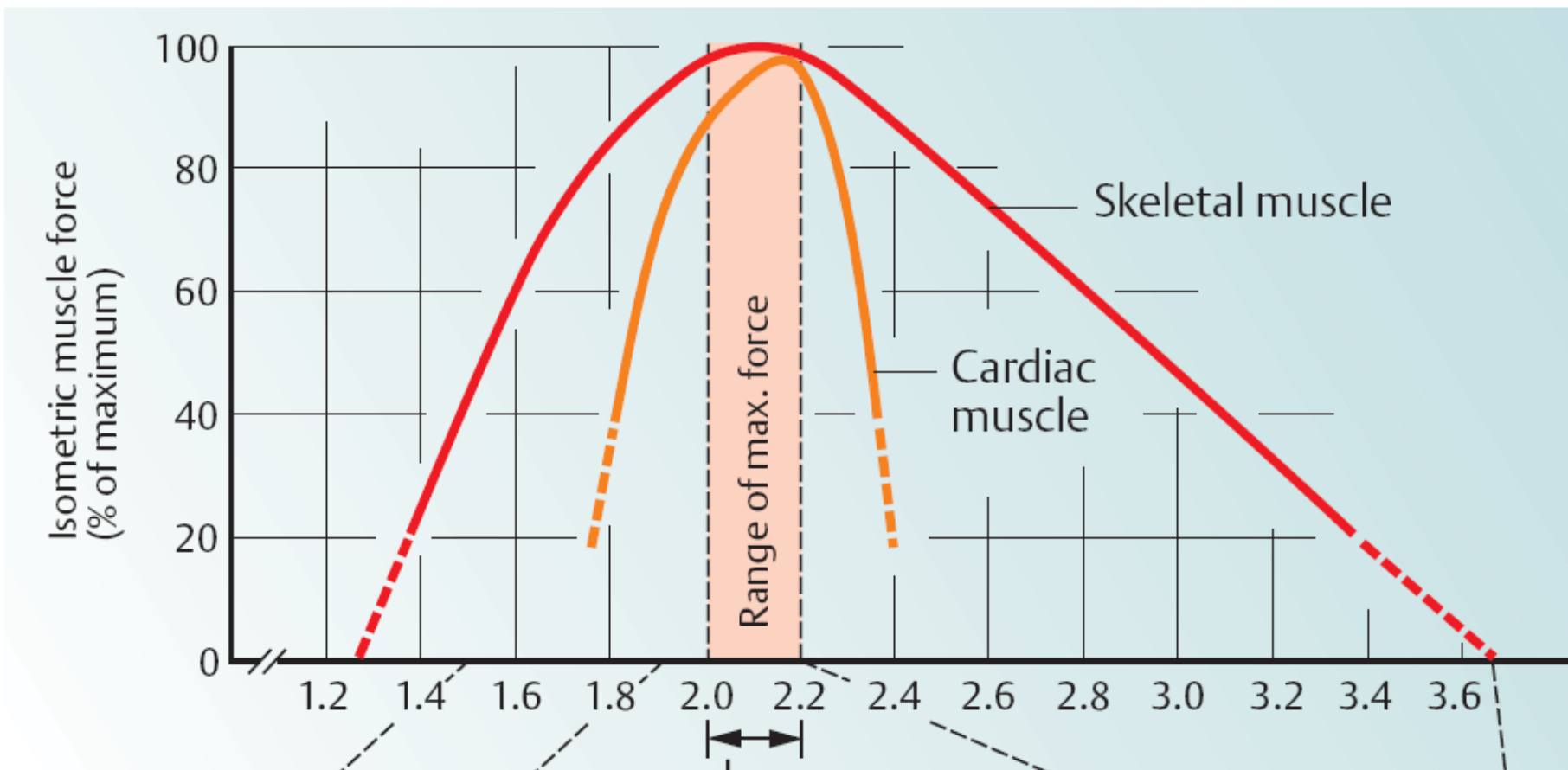
## B. Types of contractions



# Typy stahu

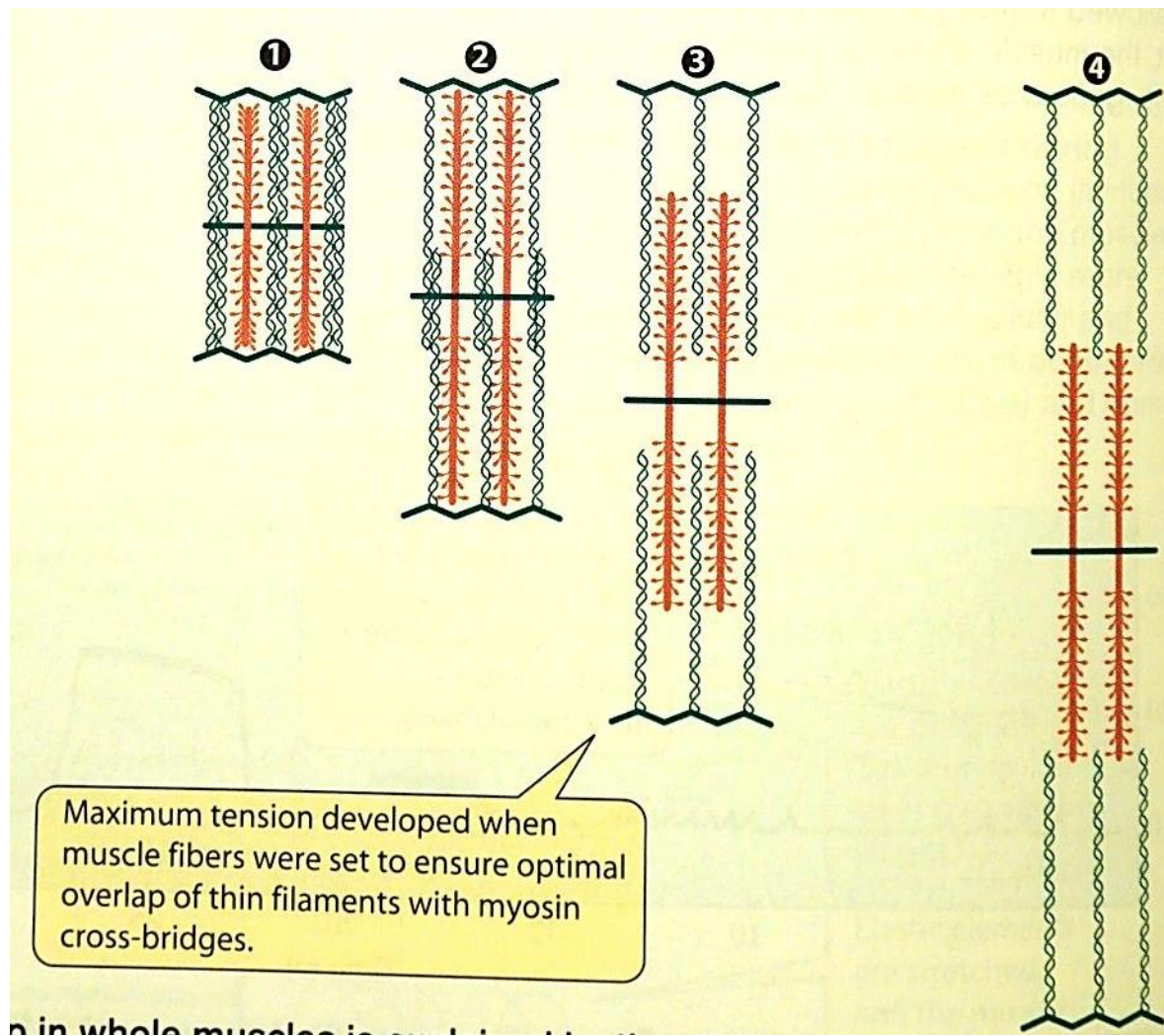
Největší sílu u izometrické kontrakce má sval uprostřed délky sarkomery

## C. Isometric muscle force relative to sarcomere length



# Typy stahu

Největší sílu u izometrické kontrakce má sval uprostřed délky sarkomery



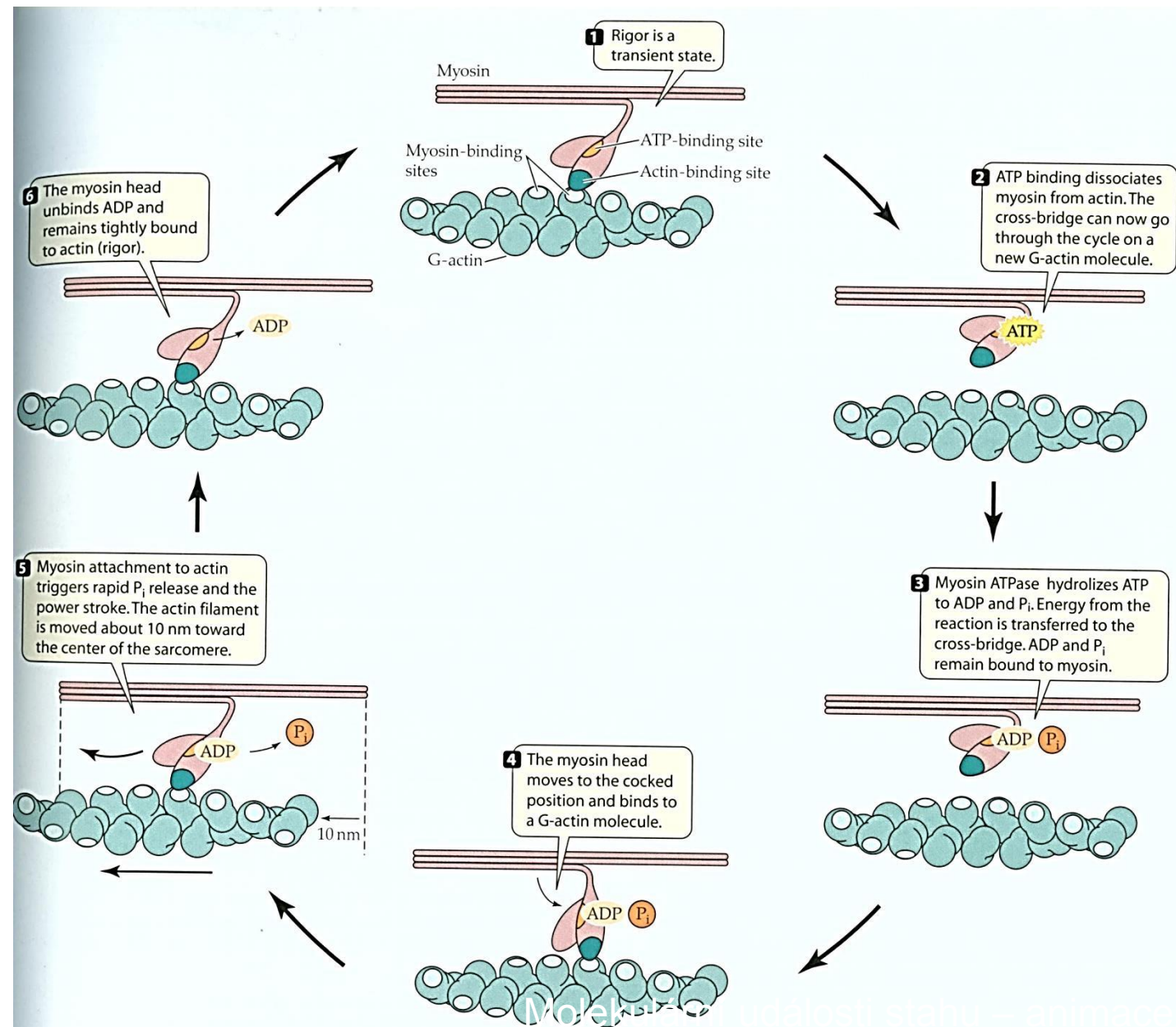
Odpolení myosinu od aktinu vyžaduje navázání ATP, čímž se změní konformace vazebného místa, ale není k tomu potřeba energie ATP.

Jak se hlava odpoutá od aktinu, hydrolyzuje ATP. Energie ATP vztýčí hlavu.

Setkání A a M uvolní Pi a sklápí se hlava. 10nm posun

ADP se odpojí, ale A a M zůstávají vázani

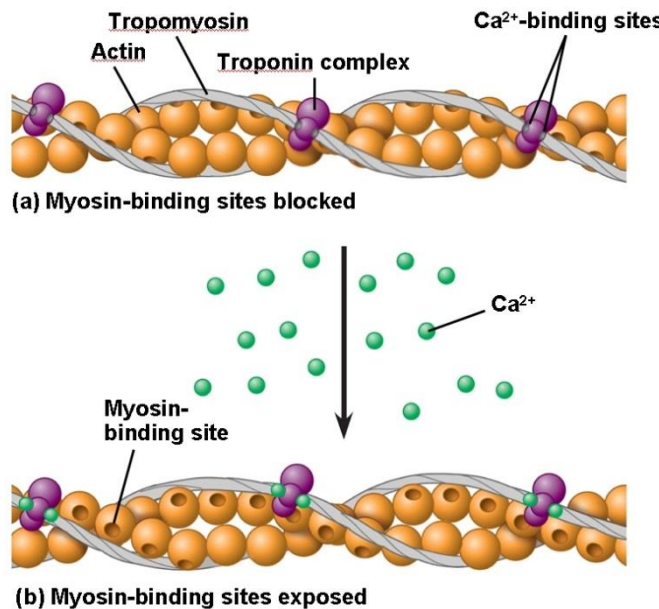
# Cyklus stahu a úloha ATP



# Ca spouští interakci myosinu s aktinem

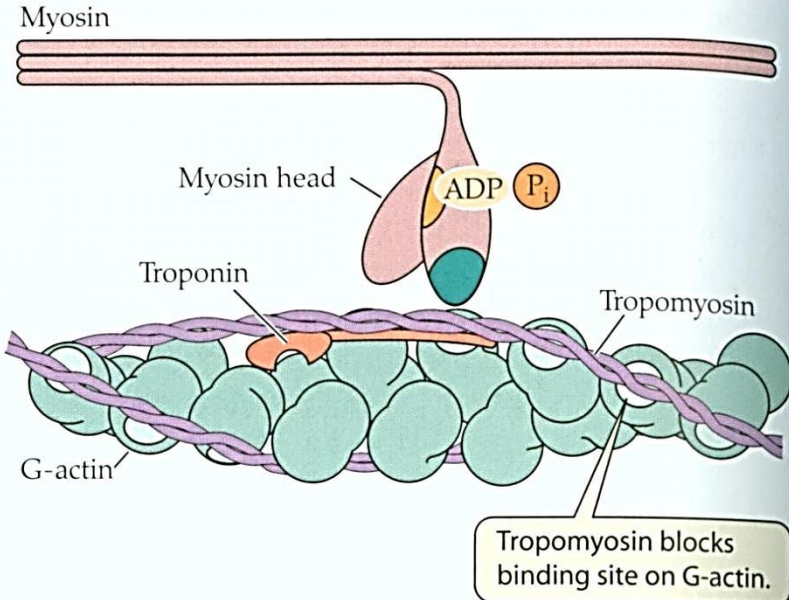
Vápník iniciuje setkání Myosinu s Aktinem

Fig. 50-28

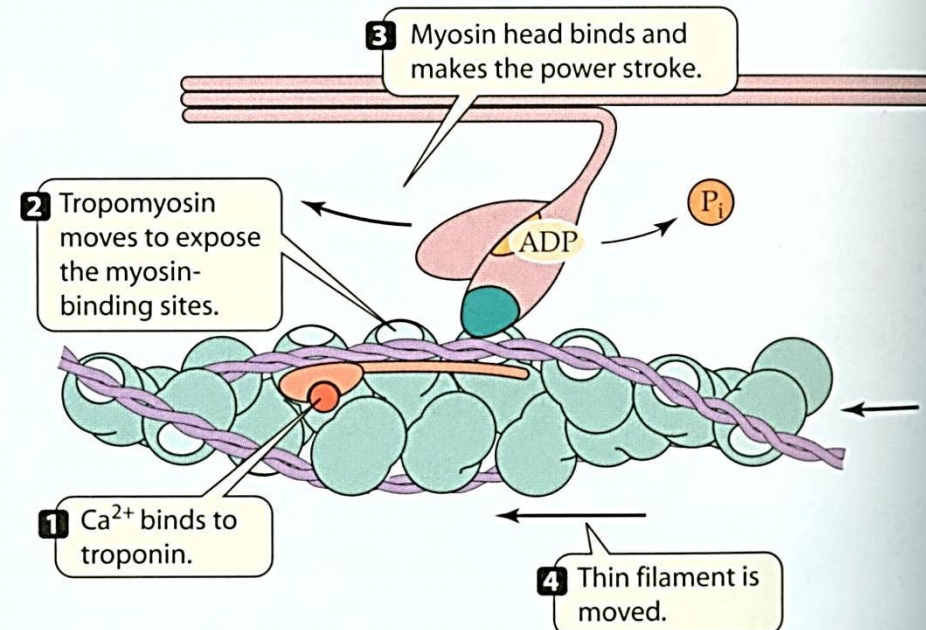


Copyright © 2008 Pearson Education, Inc., publishing as Pearson Benjamin Cummings.

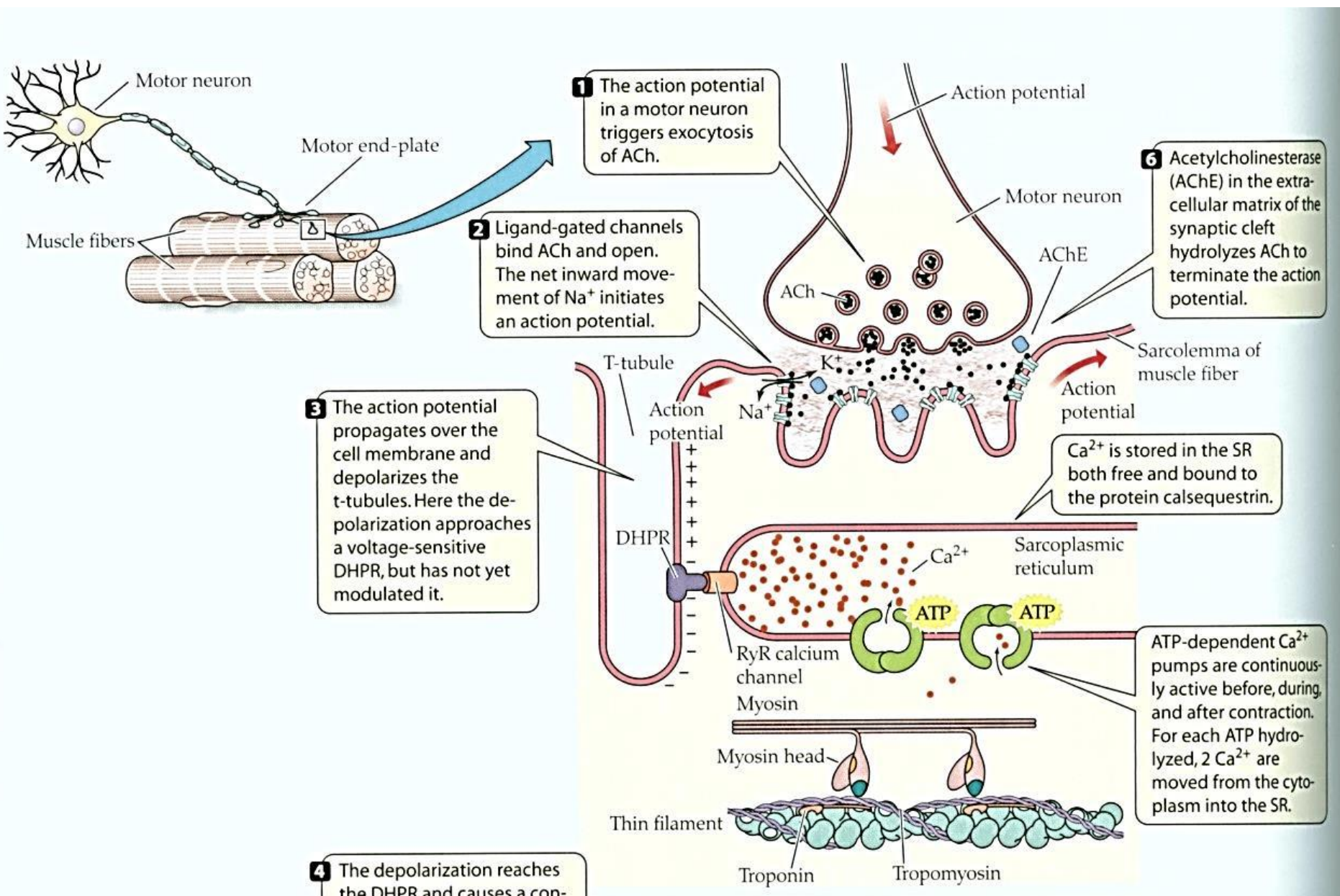
(a) No Ca<sup>2+</sup> ions present in cytoplasm (relaxed)



(b) Ca<sup>2+</sup> ions released from the sarcoplasmic reticulum

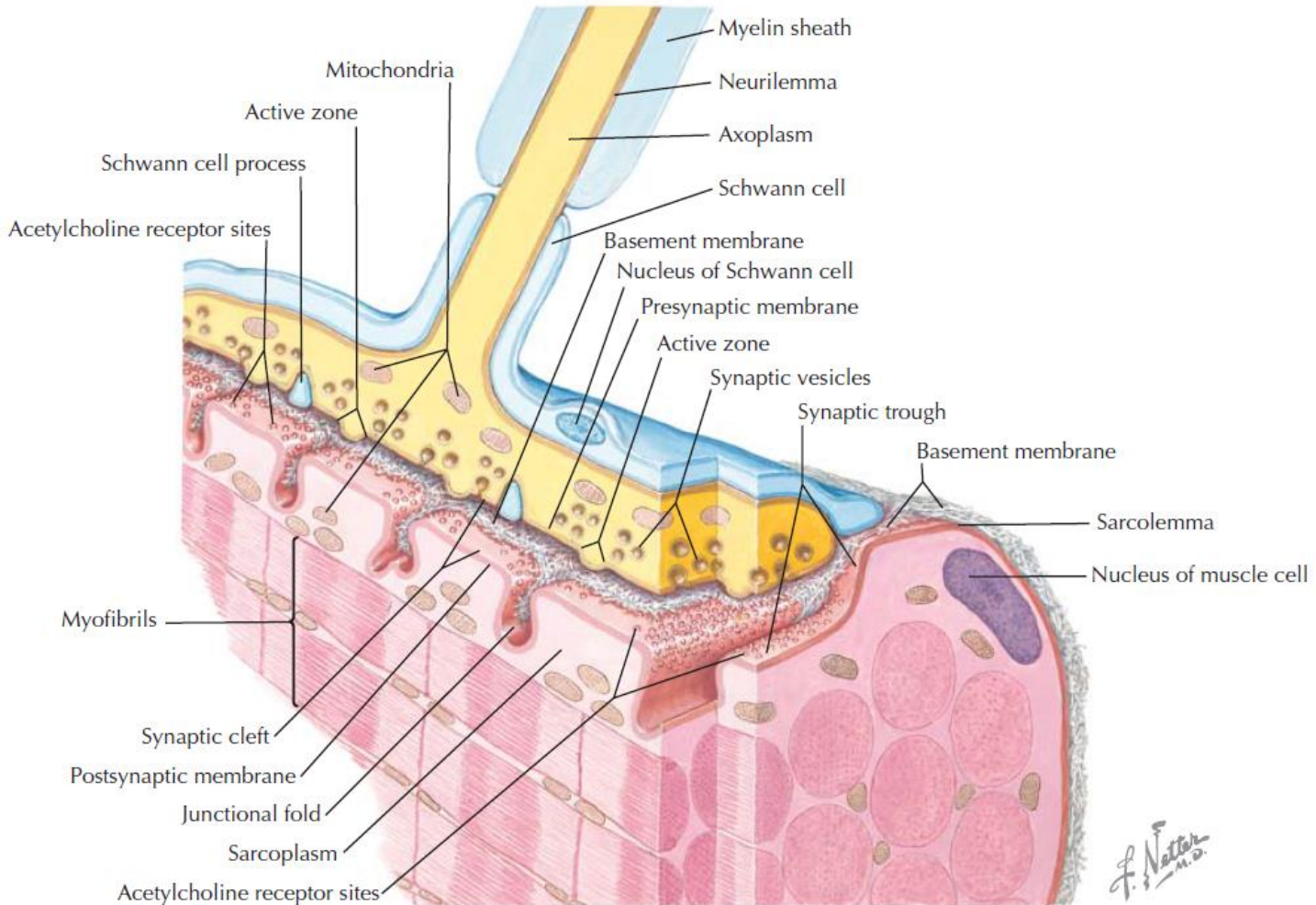


# Spřázení excitace a kontrakce kosterního svalu



# Spřažení excitace a kontrakce kosterního svalu

## Nervosvalová ploténka:



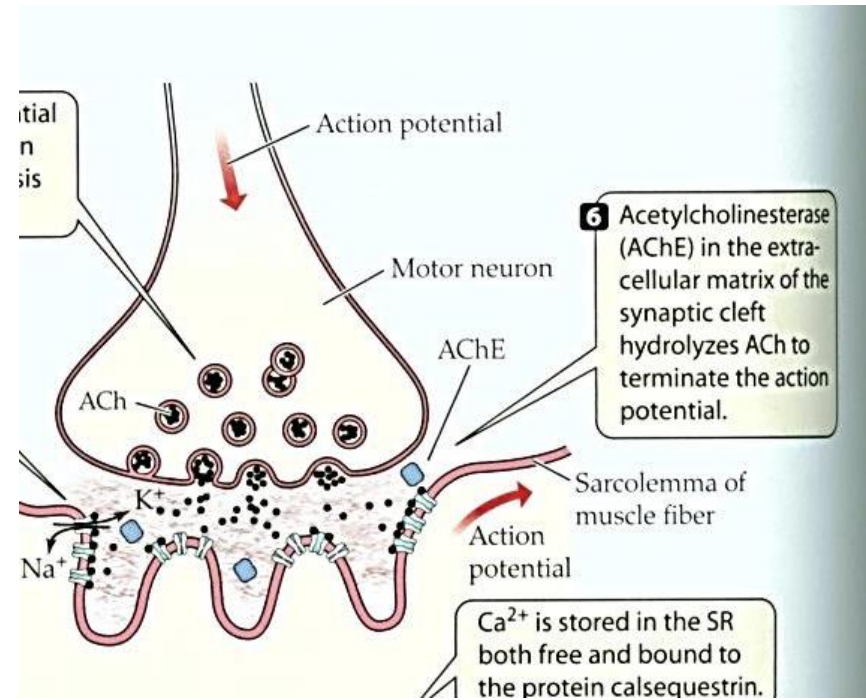
# Spřažení excitace a kontrakce kosterního svalu

**Nervosvalovou ploténku může zablokovat:**

Kurare, hadí jedy – kompetitivní inhibice receptorů

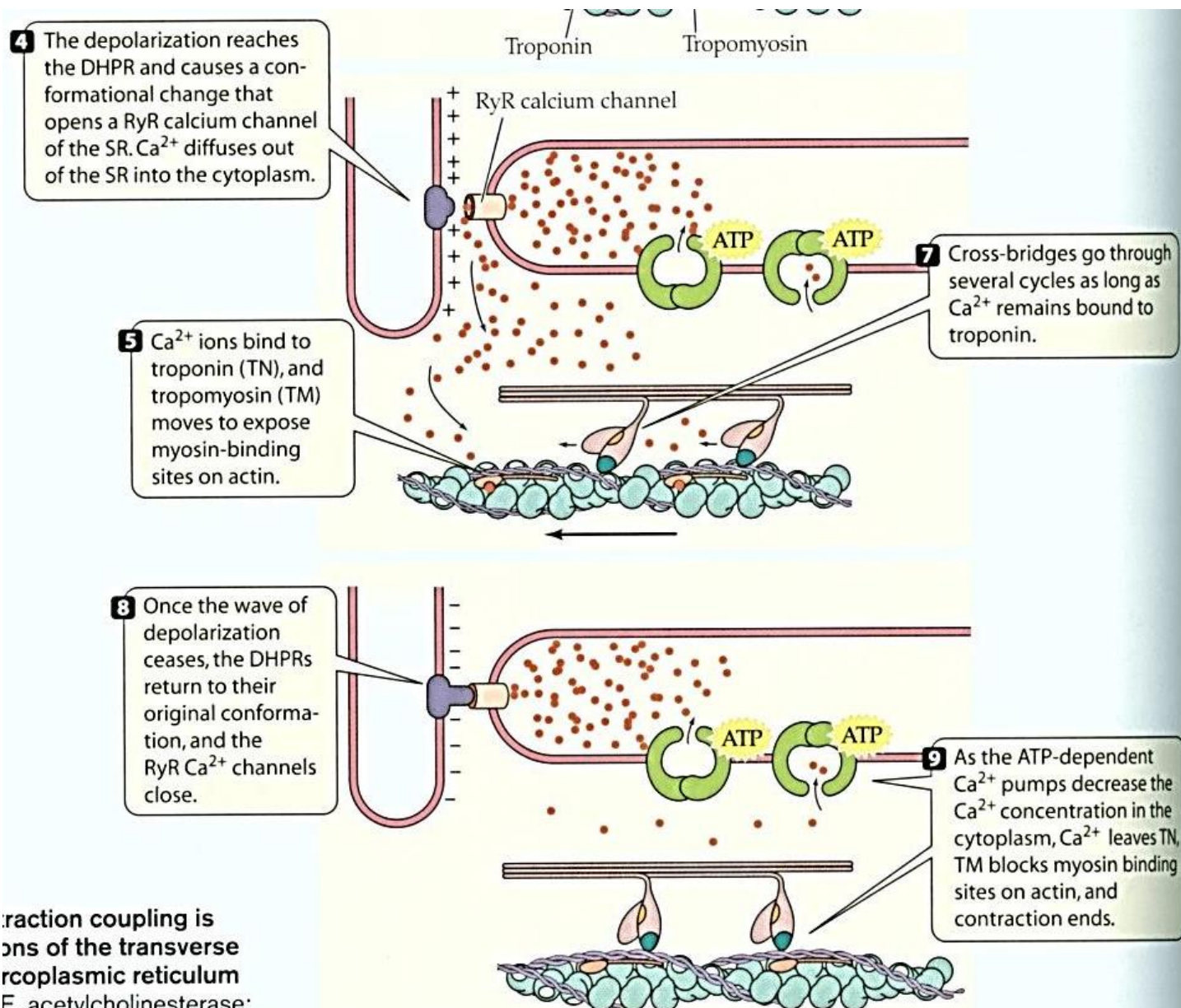
Pesticidy – blokáda AChE

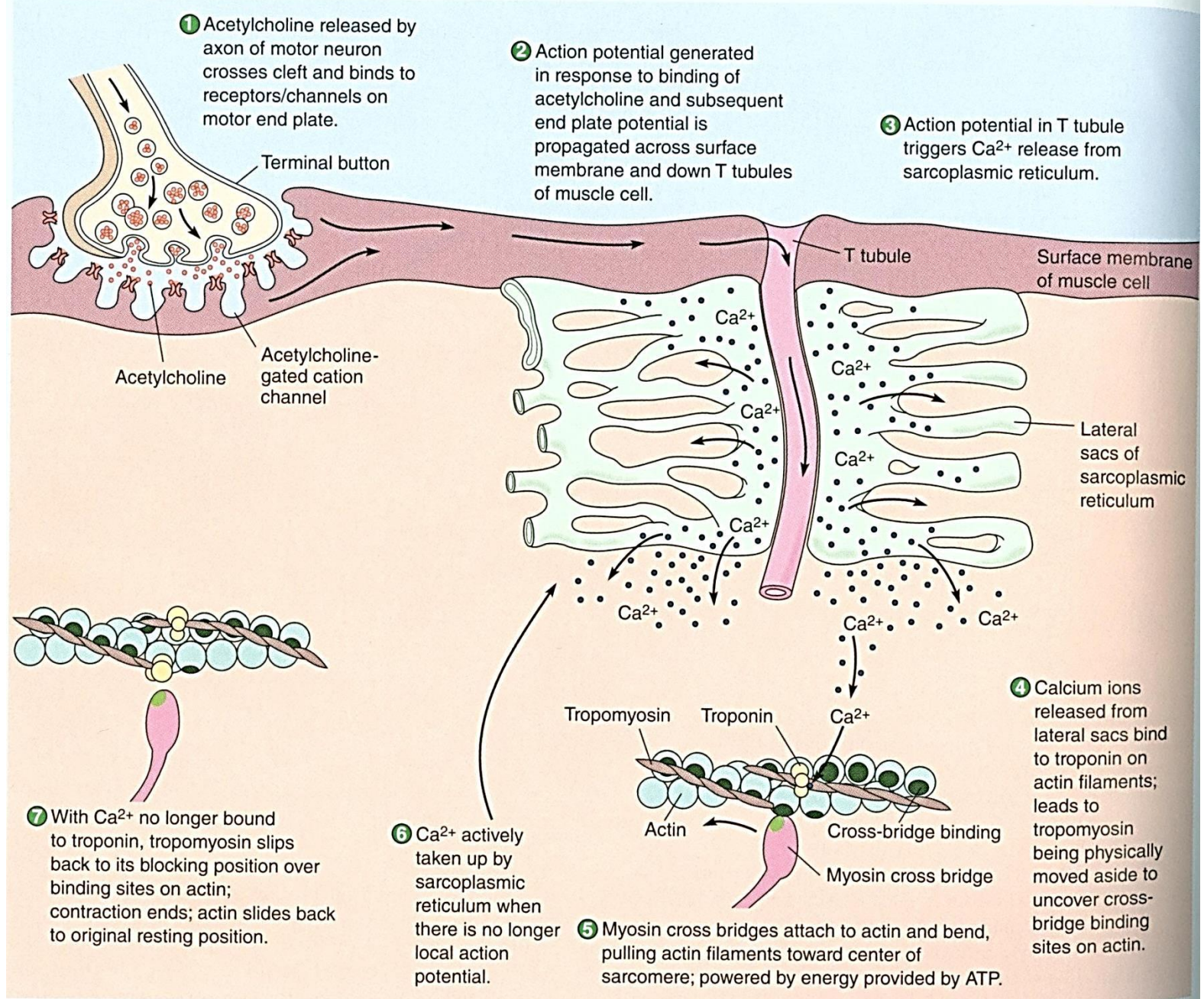
Botulin – rozpad proteinů vezikulární exocyt.



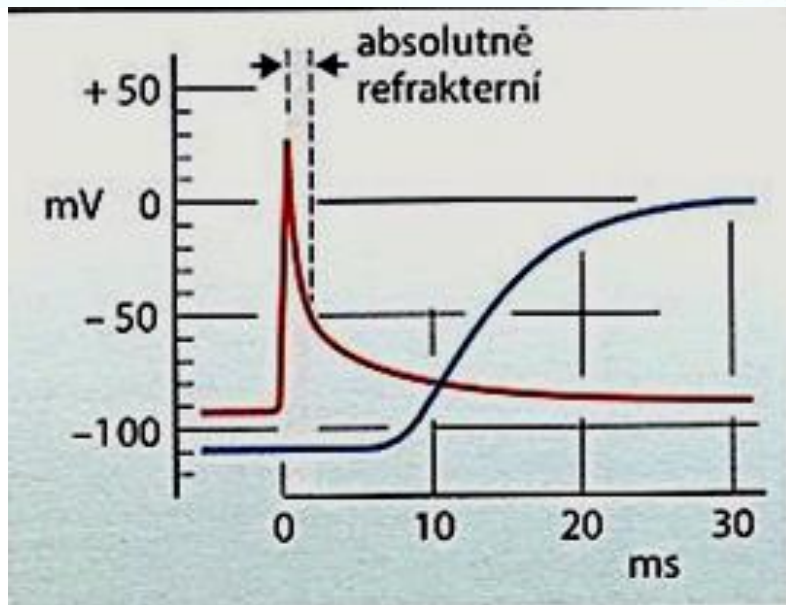
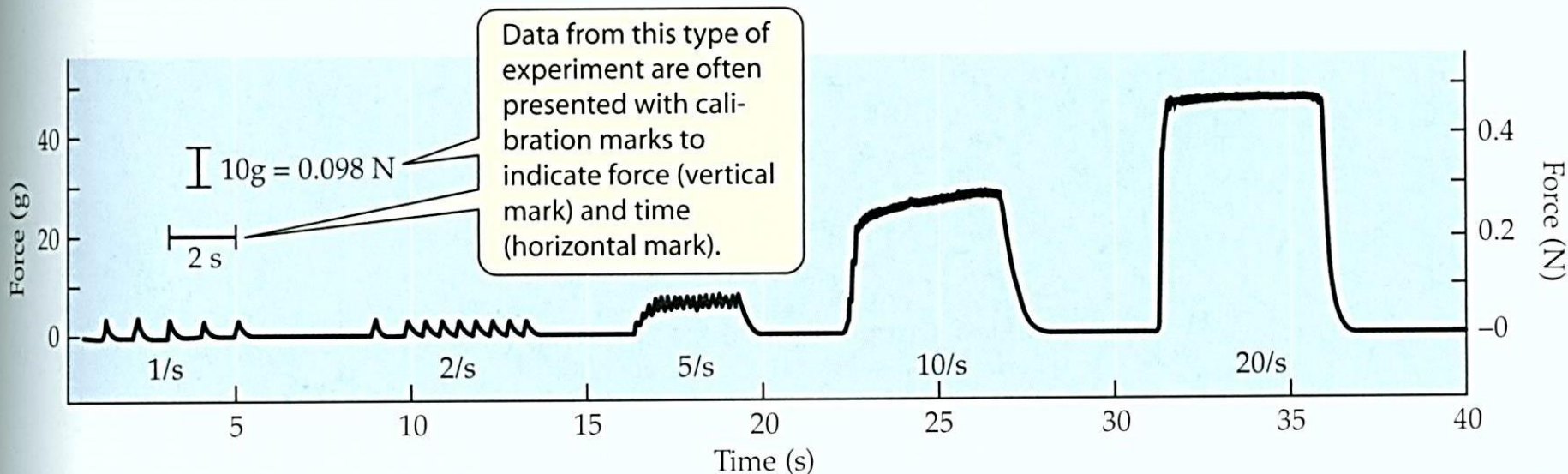
**Ionotropní řízení:  
Nervosvalová ploténka**

# Spřažení excitace a kontrakce





# Odstupňování stahu – časová sumace



**Vyšší frekvence AP udrží sval v trvalém stahu – hladký tet.**

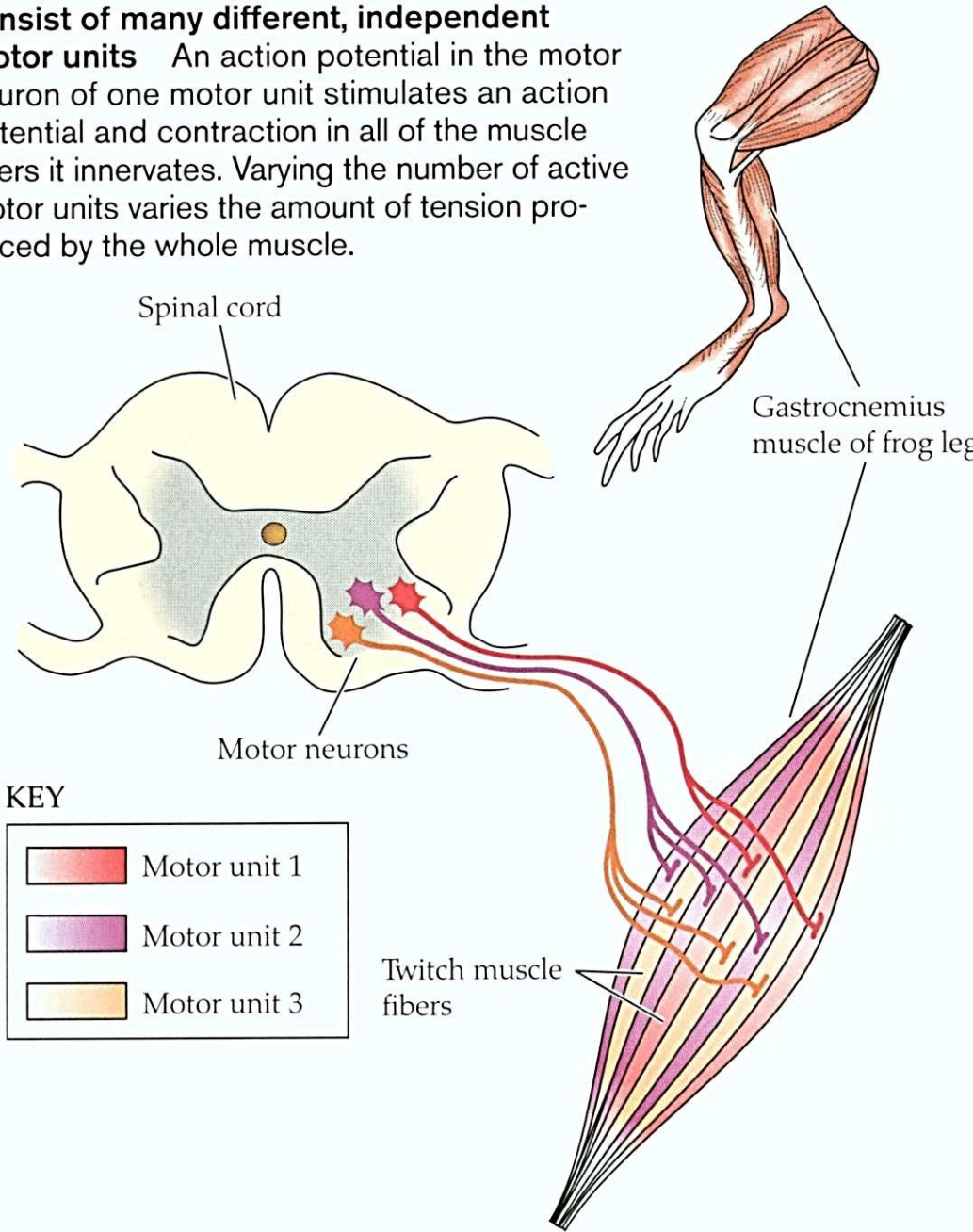
**Další zvyšování f zvýší sílu stahu – čas. sumace**

# Motorické jednotky a odstupňování stahu – prostorová sumace

V pracujícím svalu se zapíná více či méně motorických jednotek.

Tzv. náborem se odstupňuje síla stahu

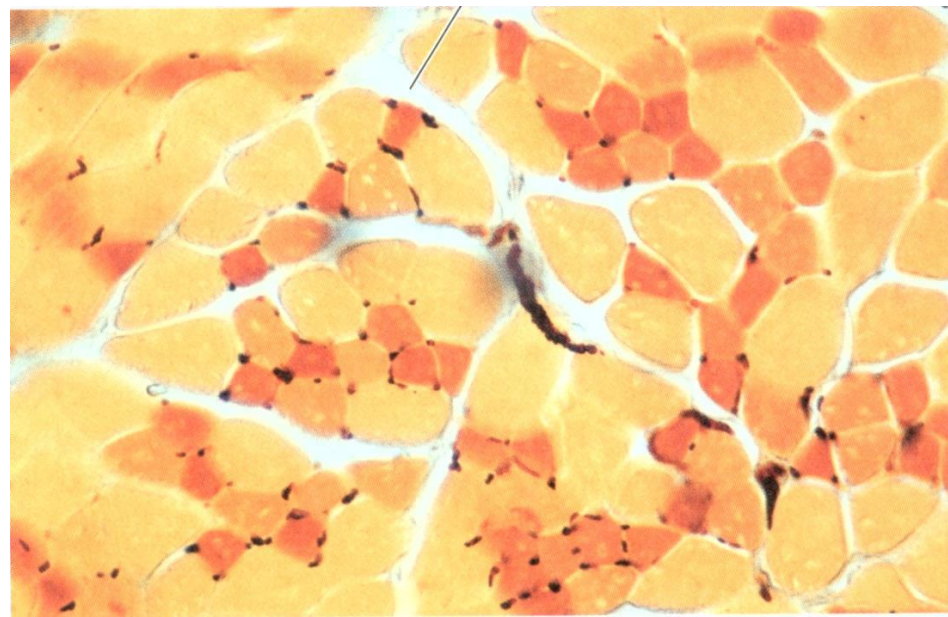
**FIGURE 20.15 Vertebrate skeletal muscles consist of many different, independent motor units** An action potential in the motor neuron of one motor unit stimulates an action potential and contraction in all of the muscle fibers it innervates. Varying the number of active motor units varies the amount of tension produced by the whole muscle.



# Druhy kosterní svaloviny

U savců existují tři typy :

- **typ I** (pomalá) – koná vytrvalostní aerobní práci (obsahuje hodně myoglobinu a sarkozomů),
- **typ II** (rychlá)
  - *IIa* má i určitý aerobní potenciál, je pomalejší
  - *IIb* se uplatňuje při krátkodobých anaerobních výkonech (má málo myoglobinu a sarkozomů, obsahuje hodně myofibril),
- typ I a IIa se označuje též jako **svalovina červená** (zbarvení propůjčuje myoglobin), typ IIb jako **bledá**



# Druhy kosterní svaloviny - srovnání

	Slow oxidative (SO)	Fast oxidative glycolytic (FOG)	Fast glycolytic (FG)
Myosin ATPase activity	Slow		Fast
Speed to reach peak tension	Slow		Fast
Duration of twitches	Long		Short
Rate of $\text{Ca}^{2+}$ uptake by sarcoplasmic reticulum	Slow to intermediate		High
Resistance to fatigue	High		Low
Number of mitochondria	Many		Few
Myoglobin content	High		Low
Color	Red		White
Diameter of fiber	Small		Large
Number of surrounding capillaries	Many		Few
Levels of glycolytic enzymes	Low		High
Ability to produce ATP using oxidative phosphorylation	High		Low
Force developed per cross-sectional area of entire fiber	Low		High
Function in animal	Posture		Jumping, bursts of high-speed locomotion
Frequency of use by animal	High		Low

# Druhy kosterní svaloviny - srovnání

	Slow oxidative (SO)	Fast oxidative glycolytic (FOG)	Fast glycolytic (FG)
Myosin ATPase activity	Slow		Fast
Speed to reach peak tension	Slow		Fast
Duration of twitches	Long		Short
Rate of $\text{Ca}^{2+}$ uptake by sarcoplasmic reticulum	Slow to intermediate		High
Resistance to fatigue	High		Low
Number of mitochondria	Many		Few
Myoglobin content	High		Low
Color	Red		White
Diameter of fiber	Small		Large
Number of surrounding capillaries	Many		Few
Levels of glycolytic enzymes	Low		High
Ability to produce ATP using oxidative phosphorylation	High		Low
Force developed per cross-sectional area of entire fiber	Low		High
Function in animal	Posture		Jumping, bursts of high-speed locomotion
Frequency of use by animal	High		Low

# Druhy kosterní svaloviny - srovnání

	Slow oxidative (SO)	Fast oxidative glycolytic (FOG)	Fast glycolytic (FG)
Myosin ATPase activity	Slow		Fast
Speed to reach peak tension	Slow		Fast
Duration of twitches	Long		Short
Rate of $\text{Ca}^{2+}$ uptake by sarcoplasmic reticulum	Slow to intermediate		High
Resistance to fatigue	High		Low
Number of mitochondria	Many		Few
Myoglobin content	High		Low
Color	Red		White
Diameter of fiber	Small		Large
Number of surrounding capillaries	Many		Few
Levels of glycolytic enzymes	Low		High
Ability to produce ATP using oxidative phosphorylation	High		Low
Force developed per cross-sectional area of entire fiber	Low		High
Function in animal	Posture		Jumping, bursts of high-speed locomotion
Frequency of use by animal	High		Low

# Druhy kosterní svaloviny - srovnání

	Slow oxidative (SO)	Fast oxidative glycolytic (FOG)	Fast glycolytic (FG)
Myosin ATPase activity	Slow		Fast
Speed to reach peak tension	Slow		Fast
Duration of twitches	Long		Short
Rate of $\text{Ca}^{2+}$ uptake by sarcoplasmic reticulum	Slow to intermediate		High
Resistance to fatigue	High		Low
Number of mitochondria	Many		Few
Myoglobin content	High		Low
Color	Red		White
Diameter of fiber	Small		Large
Number of surrounding capillaries	Many		Few
Levels of glycolytic enzymes	Low		High
Ability to produce ATP using oxidative phosphorylation	High		Low
Force developed per cross-sectional area of entire fiber	Low		High
Function in animal	Posture		Jumping, bursts of high-speed locomotion
Frequency of use by animal	High		Low

# Druhy kosterní svaloviny - srovnání

	Slow oxidative (SO)	Fast oxidative glycolytic (FOG)	Fast glycolytic (FG)
Myosin ATPase activity	Slow		Fast
Speed to reach peak tension	Slow		Fast
Duration of twitches	Long		Short
Rate of $\text{Ca}^{2+}$ uptake by sarcoplasmic reticulum	Slow to intermediate		High
Resistance to fatigue	High		Low
Number of mitochondria	Many		Few
Myoglobin content	High		Low
Color	Red		White
Diameter of fiber	Small		Large
Number of surrounding capillaries	Many		Few
Levels of glycolytic enzymes	Low		High
Ability to produce ATP using oxidative phosphorylation	High		Low
Force developed per cross-sectional area of entire fiber	Low		High
Function in animal	Posture		Jumping, bursts of high-speed locomotion
Frequency of use by animal	High		Low

# Druhy kosterní svaloviny - srovnání

	Slow oxidative (SO)	Fast oxidative glycolytic (FOG)	Fast glycolytic (FG)
Myosin ATPase activity	Slow		Fast
Speed to reach peak tension	Slow		Fast
Duration of twitches	Long		Short
Rate of $\text{Ca}^{2+}$ uptake by sarcoplasmic reticulum	Slow to intermediate		High
Resistance to fatigue	High		Low
Number of mitochondria	Many		Few
Myoglobin content	High		Low
Color	Red		White
Diameter of fiber	Small		Large
Number of surrounding capillaries	Many		Few
Levels of glycolytic enzymes	Low		High
Ability to produce ATP using oxidative phosphorylation	High		Low
Force developed per cross-sectional area of entire fiber	Low		High
Function in animal	Posture		Jumping, bursts of high-speed locomotion
Frequency of use by animal	High		Low

# Druhy kosterní svaloviny - srovnání

	Slow oxidative (SO)	Fast oxidative glycolytic (FOG)	Fast glycolytic (FG)
Myosin ATPase activity	Slow		Fast
Speed to reach peak tension	Slow		Fast
Duration of twitches	Long		Short
Rate of $\text{Ca}^{2+}$ uptake by sarcoplasmic reticulum	Slow to intermediate		High
Resistance to fatigue	High		Low
Number of mitochondria	Many		Few
Myoglobin content	High		Low
Color	Red		White
Diameter of fiber	Small		Large
Number of surrounding capillaries	Many		Few
Levels of glycolytic enzymes	Low		High
Ability to produce ATP using oxidative phosphorylation	High		Low
Force developed per cross-sectional area of entire fiber	Low		High
Function in animal	Posture		Jumping, bursts of high-speed locomotion
Frequency of use by animal	High		Low

# Druhy kosterní svaloviny - srovnání

	Slow oxidative (SO)	Fast oxidative glycolytic (FOG)	Fast glycolytic (FG)
Myosin ATPase activity	Slow		Fast
Speed to reach peak tension	Slow		Fast
Duration of twitches	Long		Short
Rate of $\text{Ca}^{2+}$ uptake by sarcoplasmic reticulum	Slow to intermediate		High
Resistance to fatigue	High		Low
Number of mitochondria	Many		Few
Myoglobin content	High		Low
Color	Red		White
Diameter of fiber	Small		Large
Number of surrounding capillaries	Many		Few
Levels of glycolytic enzymes	Low		High
Ability to produce ATP using oxidative phosphorylation	High		Low
Force developed per cross-sectional area of entire fiber	Low		High
Function in animal	Posture		Jumping, bursts of high-speed locomotion
Frequency of use by animal	High		Low

# Druhy kosterní svaloviny - srovnání

	Slow oxidative (SO)	Fast oxidative glycolytic (FOG)	Fast glycolytic (FG)
Myosin ATPase activity	Slow		Fast
Speed to reach peak tension	Slow		Fast
Duration of twitches	Long		Short
Rate of $\text{Ca}^{2+}$ uptake by sarcoplasmic reticulum	Slow to intermediate		High
Resistance to fatigue	High		Low
Number of mitochondria	Many		Few
Myoglobin content	High		Low
Color	Red		White
Diameter of fiber	Small		Large
Number of surrounding capillaries	Many		Few
Levels of glycolytic enzymes	Low		High
Ability to produce ATP using oxidative phosphorylation	High		Low
Force developed per cross-sectional area of entire fiber	Low		High
Function in animal	Posture		Jumping, bursts of high-speed locomotion
Frequency of use by animal	High		Low

# Druhy kosterní svaloviny - srovnání

	Slow oxidative (SO)	Fast oxidative glycolytic (FOG)	Fast glycolytic (FG)
Myosin ATPase activity	Slow		Fast
Speed to reach peak tension	Slow		Fast
Duration of twitches	Long		Short
Rate of $\text{Ca}^{2+}$ uptake by sarcoplasmic reticulum	Slow to intermediate		High
Resistance to fatigue	High		Low
Number of mitochondria	Many		Few
Myoglobin content	High		Low
Color	Red		White
Diameter of fiber	Small		Large
Number of surrounding capillaries	Many		Few
Levels of glycolytic enzymes	Low		High
Ability to produce ATP using oxidative phosphorylation	High		Low
Force developed per cross-sectional area of entire fiber	Low		High
Function in animal	Posture		Jumping, bursts of high-speed locomotion
Frequency of use by animal	High		Low

# Druhy kosterní svaloviny - srovnání

	Slow oxidative (SO)	Fast oxidative glycolytic (FOG)	Fast glycolytic (FG)
Myosin ATPase activity	Slow		Fast
Speed to reach peak tension	Slow		Fast
Duration of twitches	Long		Short
Rate of $\text{Ca}^{2+}$ uptake by sarcoplasmic reticulum	Slow to intermediate		High
Resistance to fatigue	High		Low
Number of mitochondria	Many		Few
Myoglobin content	High		Low
Color	Red		White
Diameter of fiber	Small		Large
Number of surrounding capillaries	Many		Few
Levels of glycolytic enzymes	Low		High
Ability to produce ATP using oxidative phosphorylation	High		Low
Force developed per cross-sectional area of entire fiber	Low		High
Function in animal	Posture		Jumping, bursts of high-speed locomotion
Frequency of use by animal	High		Low

# Druhy kosterní svaloviny - srovnání

	Slow oxidative (SO)	Fast oxidative glycolytic (FOG)	Fast glycolytic (FG)
Myosin ATPase activity	Slow		Fast
Speed to reach peak tension	Slow		Fast
Duration of twitches	Long		Short
Rate of $\text{Ca}^{2+}$ uptake by sarcoplasmic reticulum	Slow to intermediate		High
Resistance to fatigue	High		Low
Number of mitochondria	Many		Few
Myoglobin content	High		Low
Color	Red		White
Diameter of fiber	Small		Large
Number of surrounding capillaries	Many		Few
Levels of glycolytic enzymes	Low		High
Ability to produce ATP using oxidative phosphorylation	High		Low
Force developed per cross-sectional area of entire fiber	Low		High
Function in animal	Posture		Jumping, bursts of high-speed locomotion
Frequency of use by animal	High		Low

# Druhy kosterní svaloviny - srovnání

	Slow oxidative (SO)	Fast oxidative glycolytic (FOG)	Fast glycolytic (FG)
Myosin ATPase activity	Slow		Fast
Speed to reach peak tension	Slow		Fast
Duration of twitches	Long		Short
Rate of $\text{Ca}^{2+}$ uptake by sarcoplasmic reticulum	Slow to intermediate		High
Resistance to fatigue	High		Low
Number of mitochondria	Many		Few
Myoglobin content	High		Low
Color	Red		White
Diameter of fiber	Small		Large
Number of surrounding capillaries	Many		Few
Levels of glycolytic enzymes	Low		High
Ability to produce ATP using oxidative phosphorylation	High		Low
Force developed per cross-sectional area of entire fiber	Low		High
Function in animal	Posture		Jumping, bursts of high-speed locomotion
Frequency of use by animal	High		Low

# Druhy kosterní svaloviny - srovnání

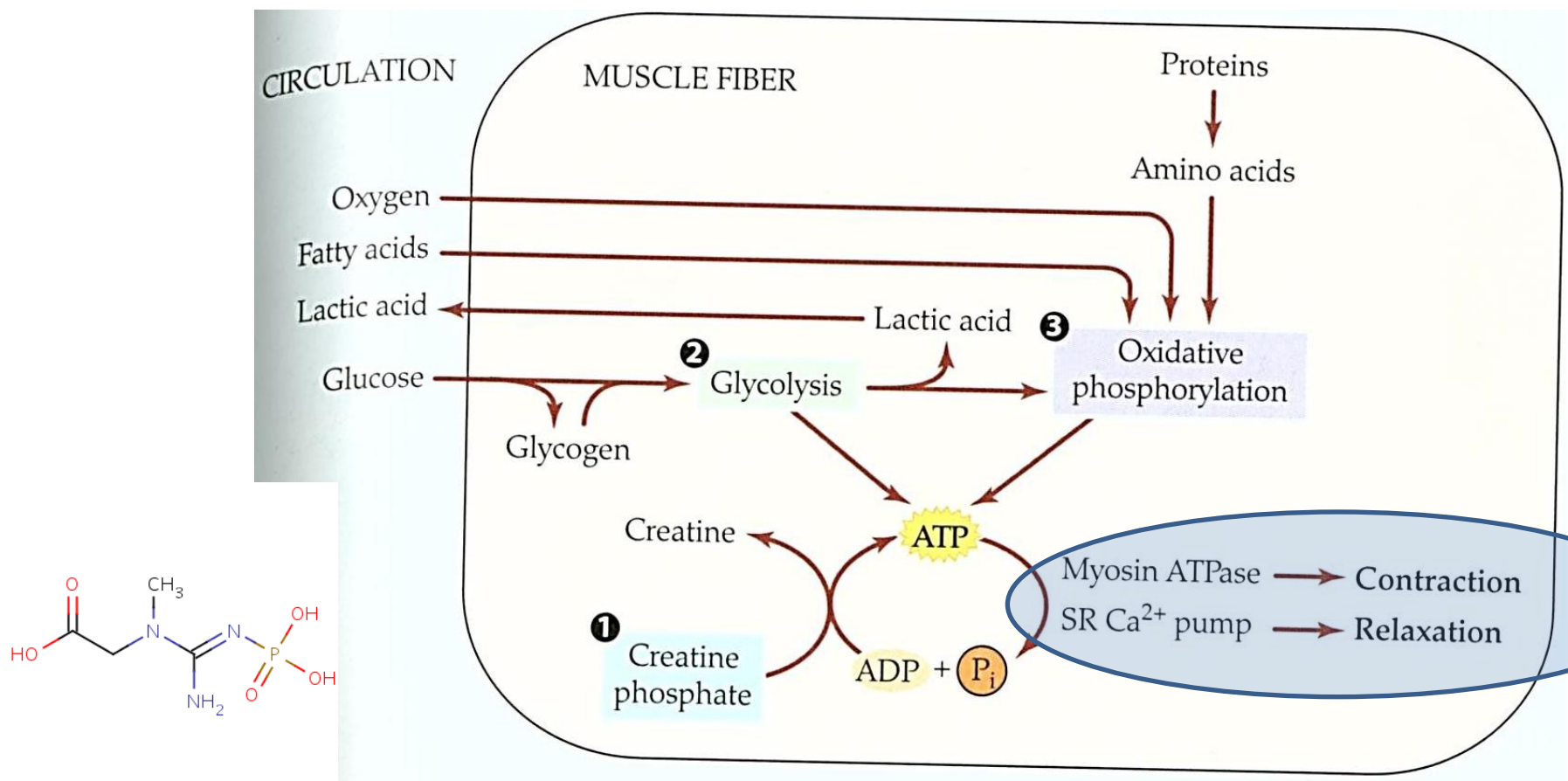
	Slow oxidative (SO)	Fast oxidative glycolytic (FOG)	Fast glycolytic (FG)
Myosin ATPase activity	Slow		Fast
Speed to reach peak tension	Slow		Fast
Duration of twitches	Long		Short
Rate of $\text{Ca}^{2+}$ uptake by sarcoplasmic reticulum	Slow to intermediate		High
Resistance to fatigue	High		Low
Number of mitochondria	Many		Few
Myoglobin content	High		Low
Color	Red		White
Diameter of fiber	Small		Large
Number of surrounding capillaries	Many		Few
Levels of glycolytic enzymes	Low		High
Ability to produce ATP using oxidative phosphorylation	High		Low
Force developed per cross-sectional area of entire fiber	Low		High
Function in animal	Posture		Jumping, bursts of high-speed locomotion
Frequency of use by animal	High		Low

# Druhy kosterní svaloviny - srovnání

	Slow oxidative (SO)	Fast oxidative glycolytic (FOG)	Fast glycolytic (FG)
Myosin ATPase activity	Slow		Fast
Speed to reach peak tension	Slow		Fast
Duration of twitches	Long		Short
Rate of $\text{Ca}^{2+}$ uptake by sarcoplasmic reticulum	Slow to intermediate		High
Resistance to fatigue	High		Low
Number of mitochondria	Many		Few
Myoglobin content	High		Low
Color	Red		White
Diameter of fiber	Small		Large
Number of surrounding capillaries	Many		Few
Levels of glycolytic enzymes	Low		High
Ability to produce ATP using oxidative phosphorylation	High		Low
Force developed per cross-sectional area of entire fiber	Low		High
Function in animal	Posture		Jumping, bursts of high-speed locomotion
Frequency of use by animal	High		Low

# Zdroje energie svalového stahu

ATP v centru dění – co jej poskytuje a co spotřebovává

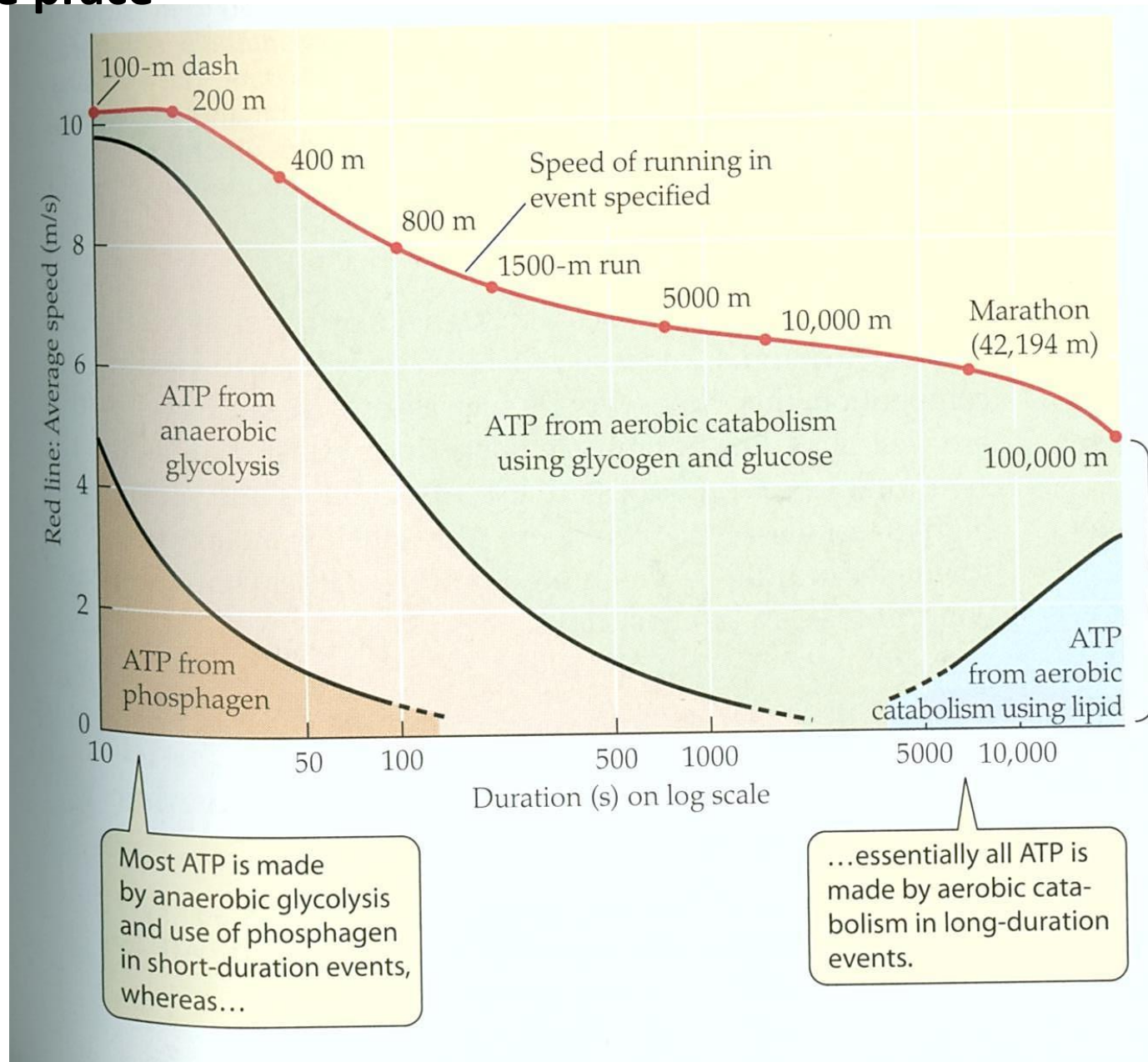


# Zdroje energie pracujícího kosterního svalu závisí na době a intenzitě práce

Rychlosť a trvání běhu jdou proti sobě

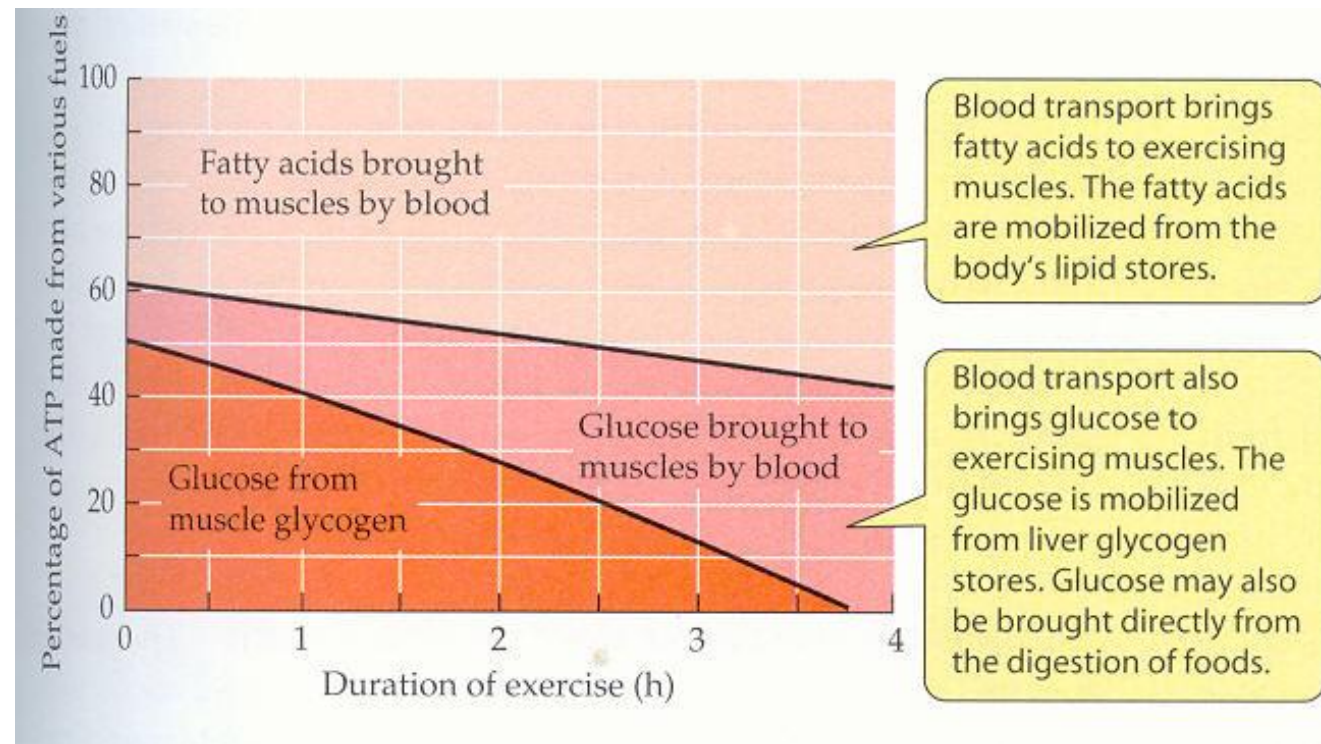
ATP je asi na 10 kont., což je jen asi 1s v klidu  
CP – 50 kontrakcí

Po řadě v čase :  
**Zásoba ATP a CP**  
**Anaerobní glykolýza**  
**Aerobní cukry**  
**Aerobní tuky**



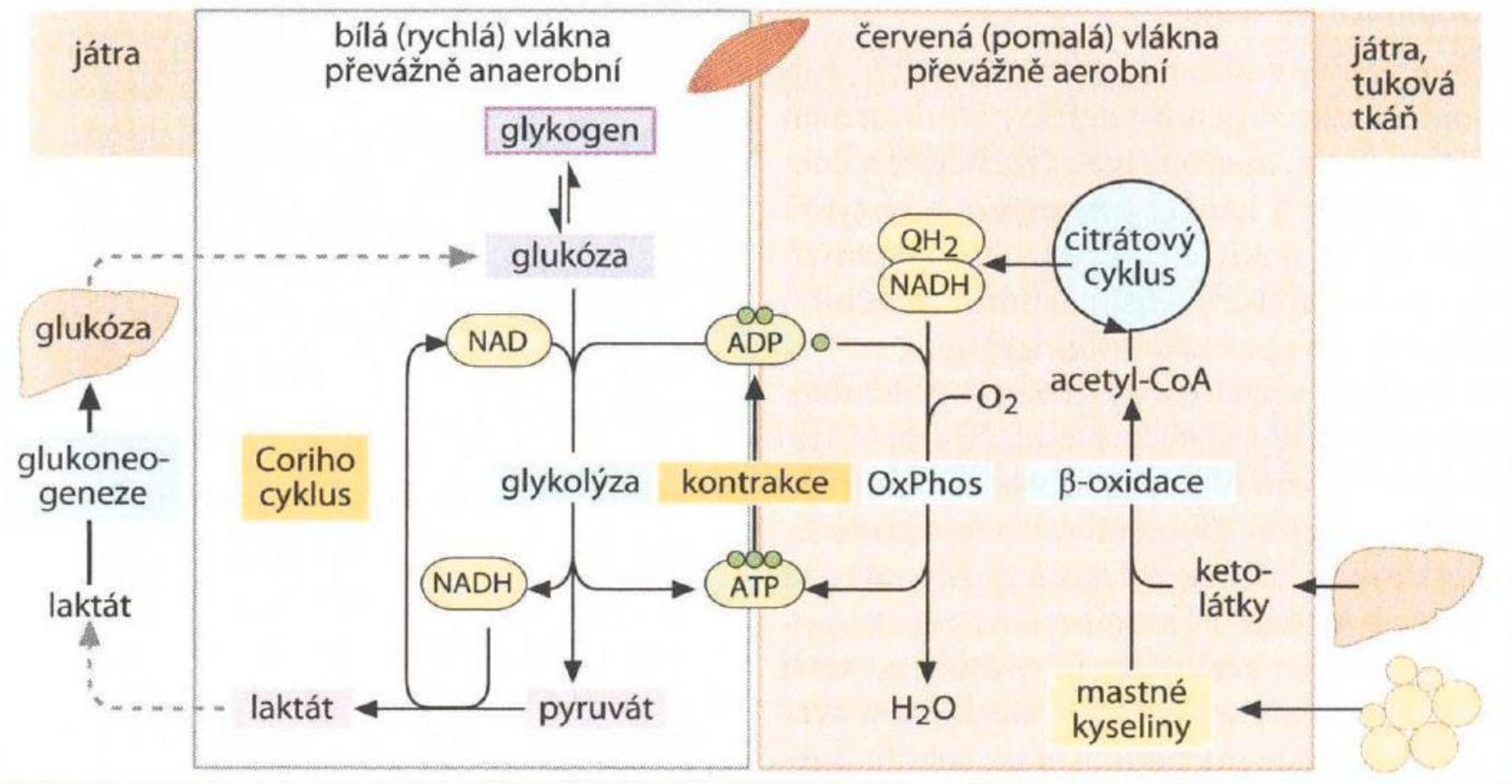
# Zdroje energie pracujícího kosterního svalu závisí na době a intenzitě práce

Svalový glykogen se vyčerpává a čím dál víc záleží na zásobení krvi.



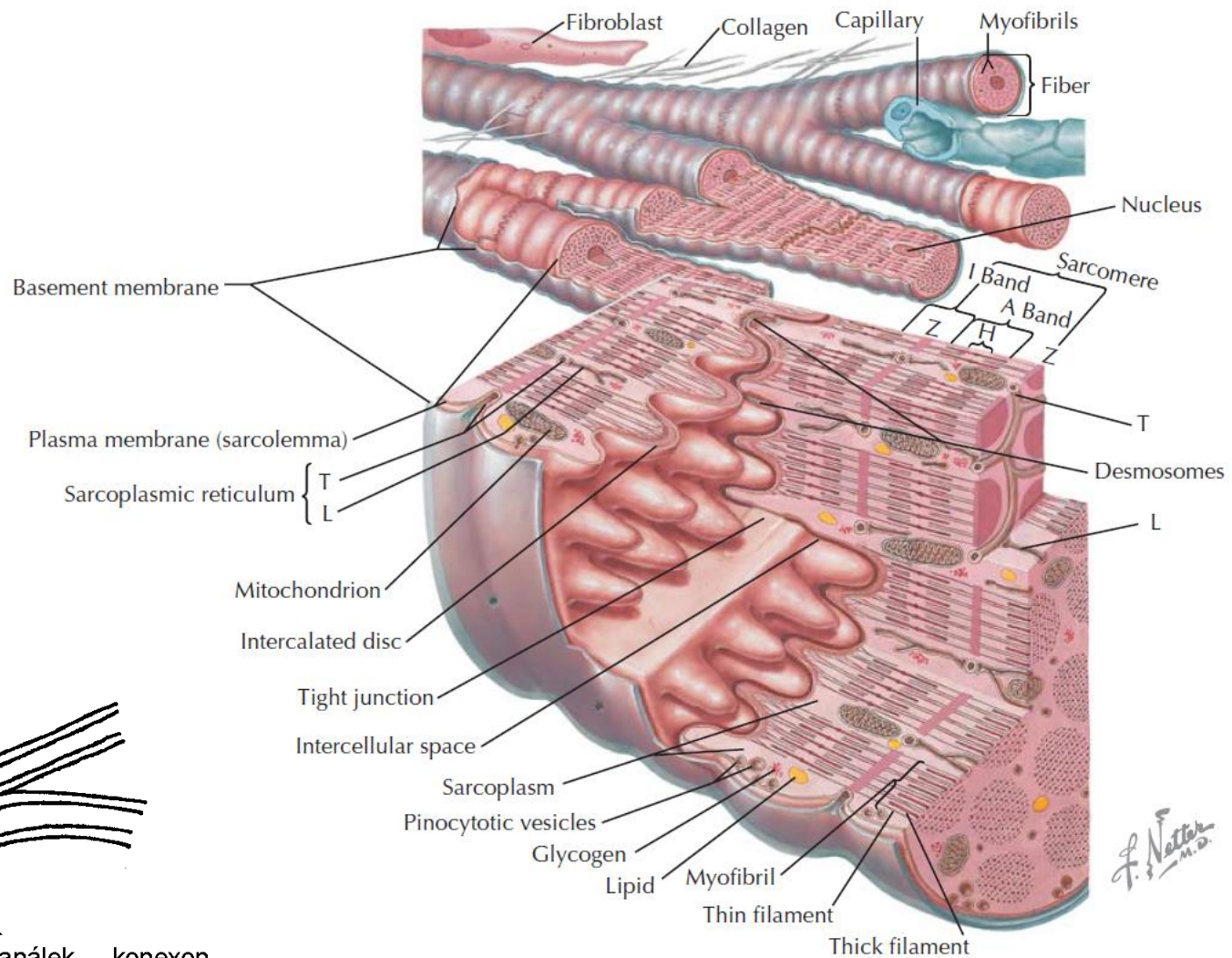
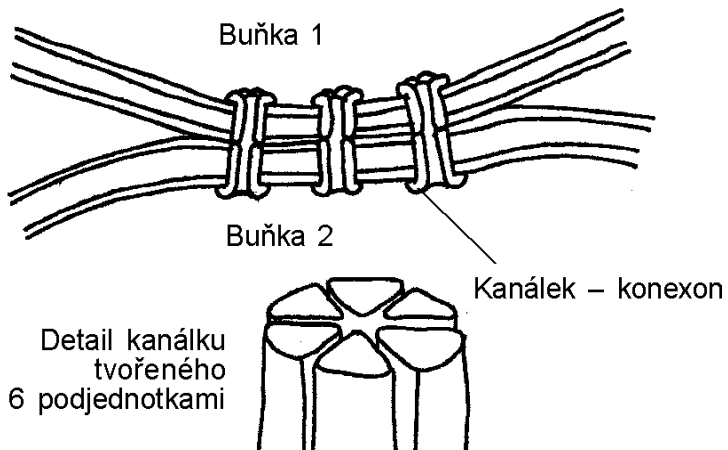
**Červená vlákna mají rezervu kyslíku (myoglobin)  
Bílá, rychlá vlákna ji nemají a přechází na glykolýzu  
Potřeba NAD je důvodem vzniku laktátu**

**A. Energetický metabolismus bílých a červených svalových vláken**



# Srdeční svalovina - myokard

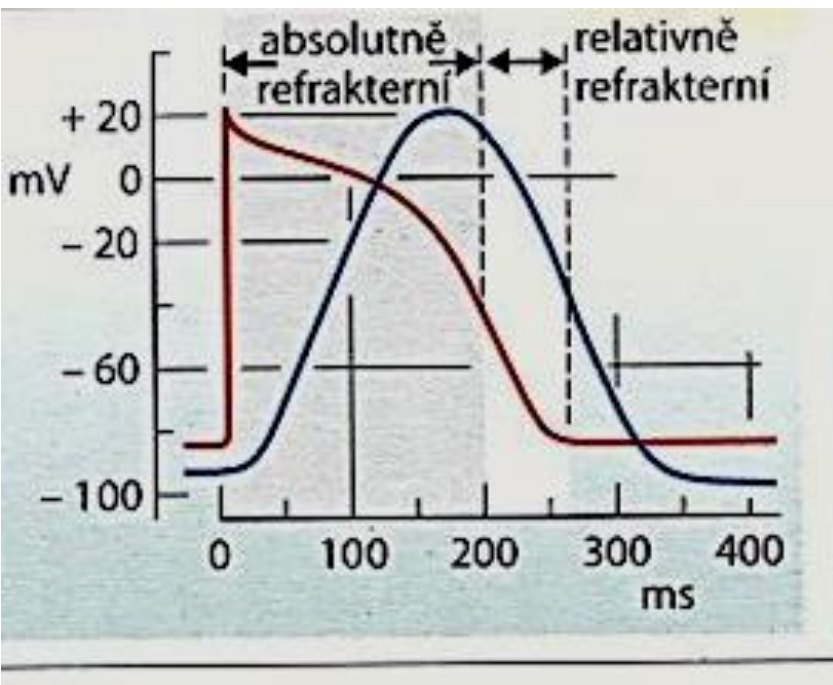
**Interkalární disky vodivě propojují do jednoho celku.  
Jsou typem gap junction  
Tvoří - Syncytium**



Možnost odstupňování stahů je omezená –  
Není ani časová ani prostorová sumace

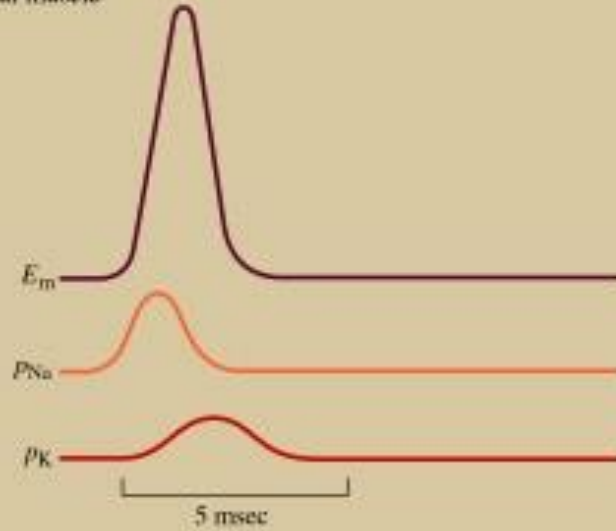
# Ca v myokardu a jeho podíl na tvaru AP

Ca plató – až 500ms trvání

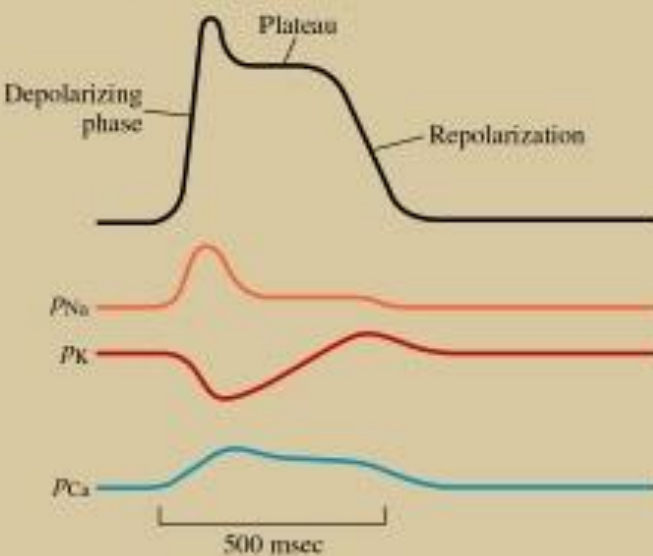


Důsledek dlouhé refrakterní fáze: Nelze fyziologicky vyvolat hladký tetanus

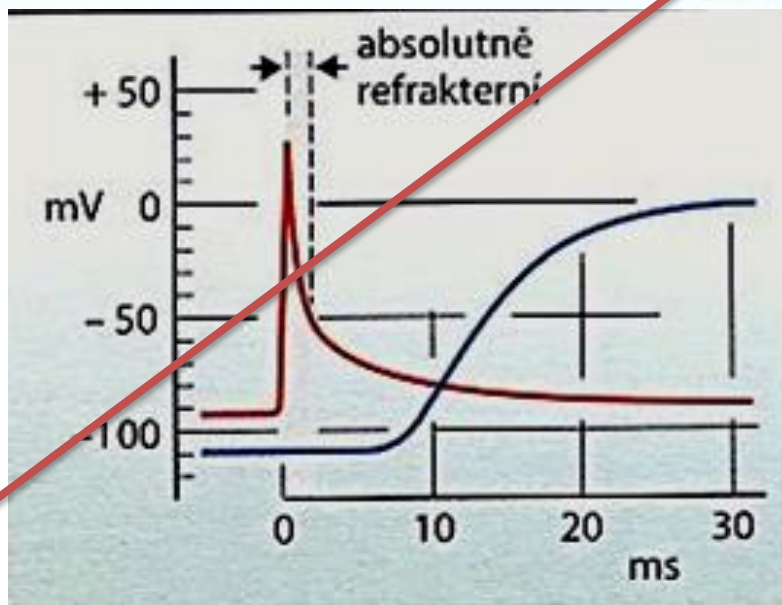
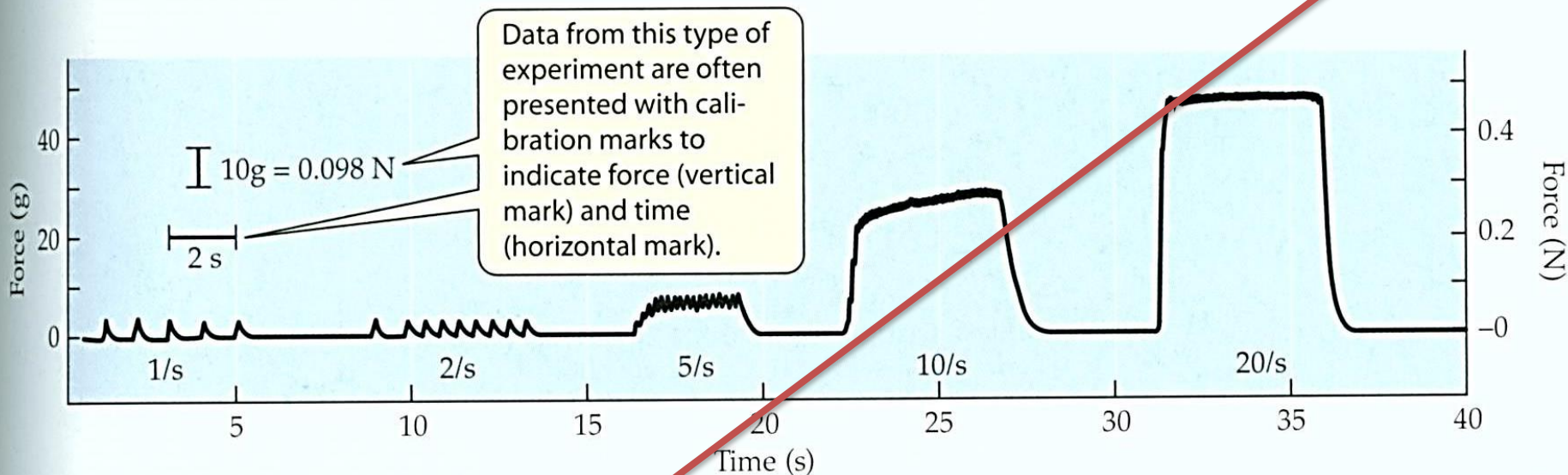
A. Skeletal muscle



B. Cardiac muscle



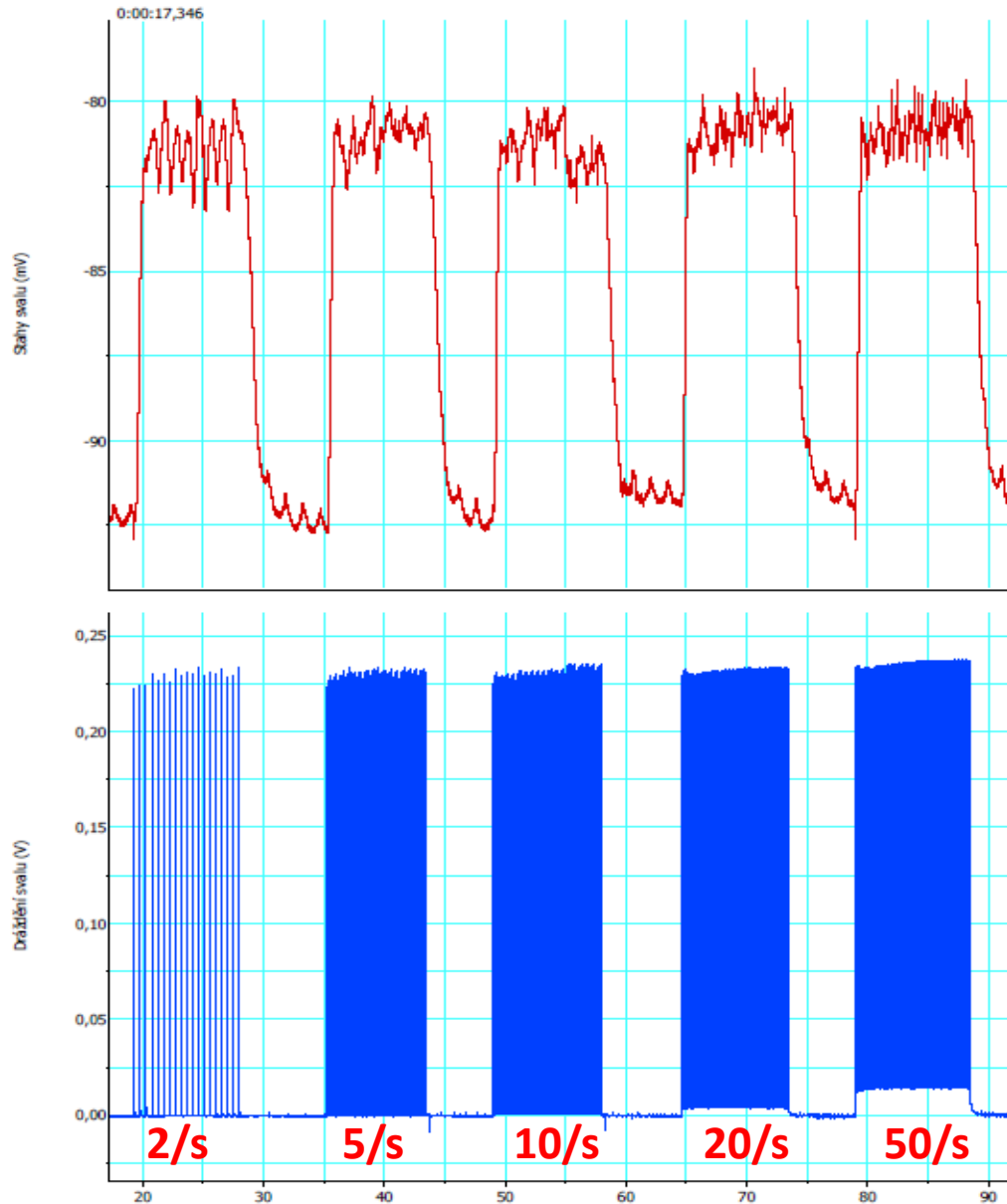
# Odstupňování stahu kosterního svalu – časová sumace



Vyšší frekvence AP udrží sval v trvalém stahu – hladký tet.

Další zvyšování f zvýší sílu stahu – čas. sumace

Srdce nemá hladký tetanus a proto ani časovou sumaci.



# Srovnání charakteristik 3 základních typů svalů

## A. Stavba a funkce hladkého, srdečního a kosterního svalu

### Stavba a funkce

motorická  
ploténka

žádná

žádná

ano

vlákna

fuziformní, krátká (max. 0,2 mm)

větvená

cylindrická, dlouhá (max. 15 cm)

mitochondrie

nečetné

četné

nečetné (v závislosti na typu svalu)

buněčné jádro/vlákno

1

1

četná

sarkomera

žádná

ano, délka max. 2,6  $\mu$ m

ano, délka max. 3,65  $\mu$ m

elektrické spřažení

částečně (jednotkový typ)

ano (funkční syncytium)

ne

sarkoplazmatické  
retikulum

málo vyvinuté

přiměřeně vyvinuté

silně vyvinuté

$\text{Ca}^{2+}$ -„spínač“

kalmodulin/kaldesmon

troponin

troponin

pacemaker

zčásti spontánně rytmicky činný ( $1 \text{ s}^{-1}$ – $1 \text{ h}^{-1}$ )

ano (sinoatriální uzel asi  $1 \text{ s}^{-1}$ )

ne (nutný nervový podnět)

odpověď na podnět

změna tonu nebo frekvence rytmu

„vše nebo nic“

odstupňovaná

tetanizovatelný

ano

ne

ano

pracovní rozsah

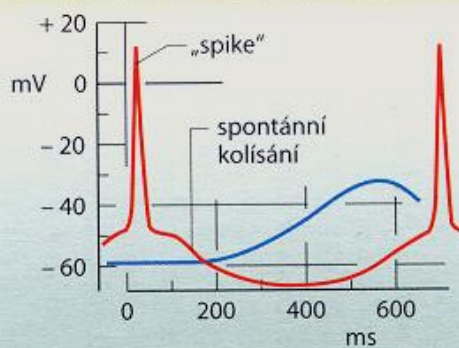
křivka délka/síla  
je proměnlivá

na vzestupu křivky síla/délka  
(viz tab. 2.15 E)

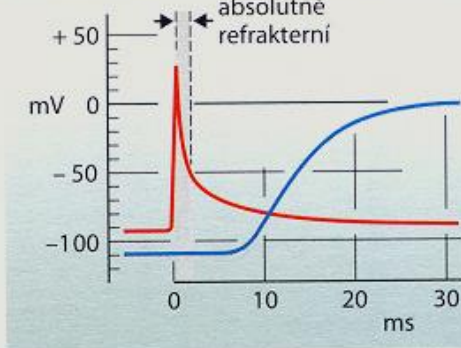
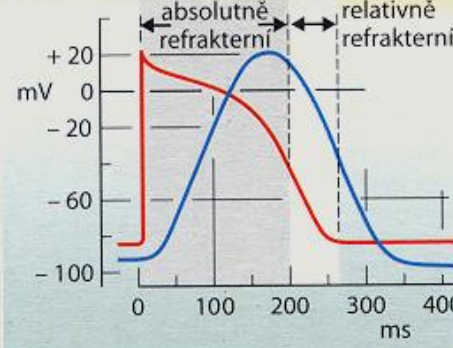
v maximu křivky síla/délka  
(viz tab. 2.15 E)

### odpověď na podnět

potenciál



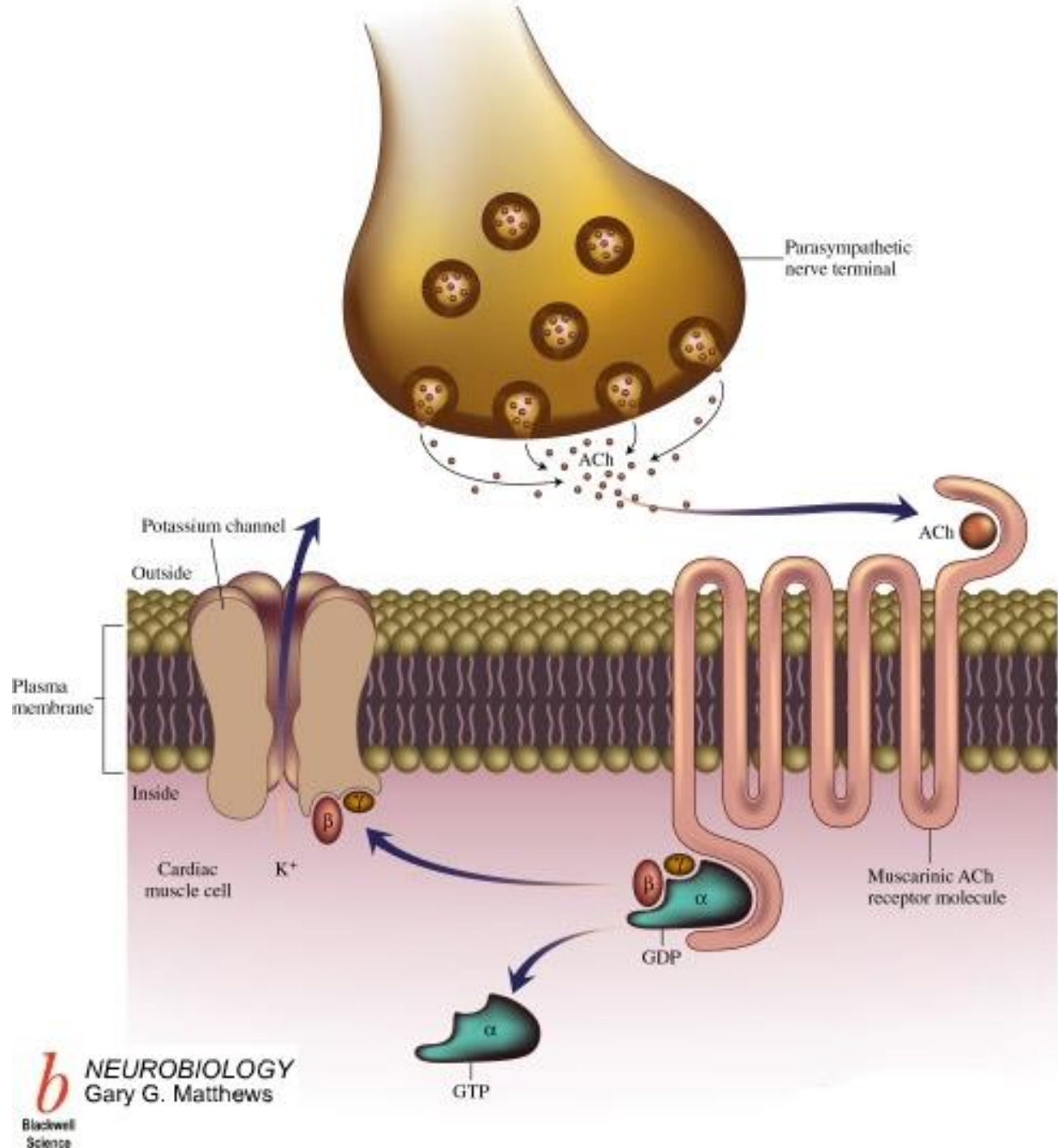
napětí  
svalu



# Parasympatikus na myokardu

Snižuje dráždivost

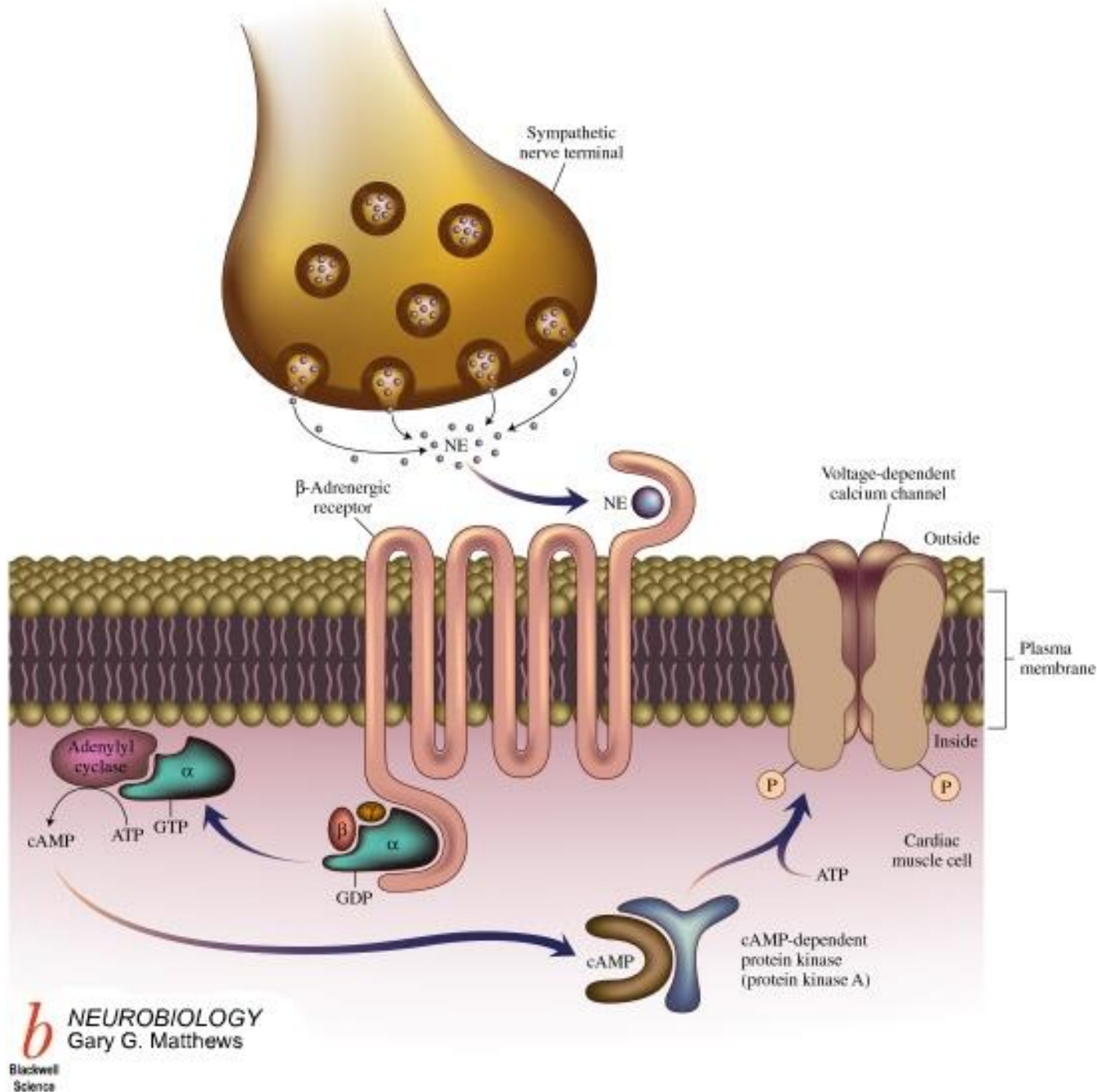
Ach se váže na muskarinový receptor a přes G-protein otevří K kanál – hyperpolarizuje membránu



# Sympatikus na myokardu

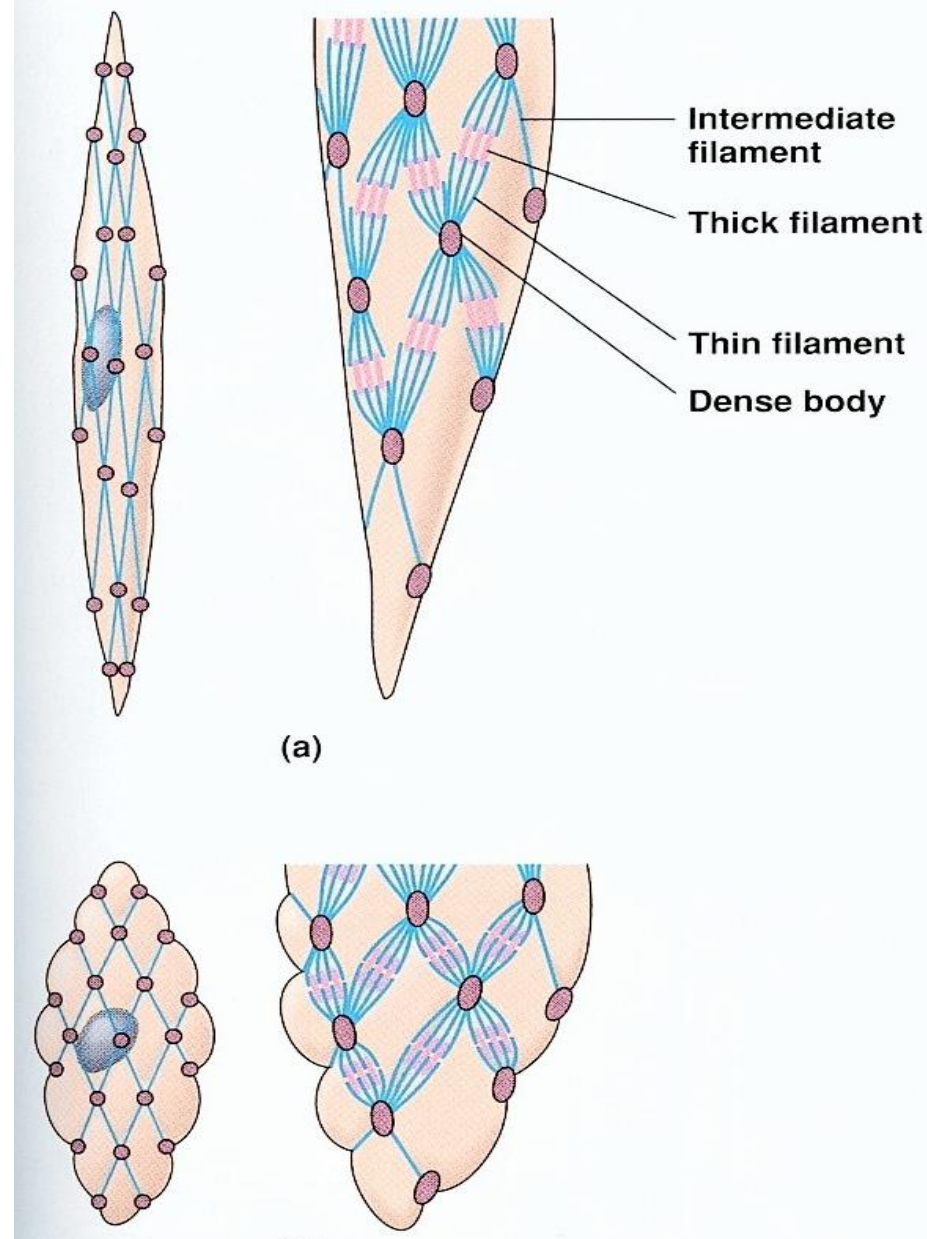
Zvyšuje  
Dráždivost

NA se váže na  
adrenergní  
receptor a přes  
G-protein a  
druhého posla  
otevřívá Ca kanál  
– depolarizuje  
membránu



## Hladká svalovina

Buňky jsou menší, mají jen jedno jádro, jsou vřetenovitého tvaru, propojené mechanickými spoji zaručujícími přenos síly celým svalem. Nemají transverzální tubuly, troponin, tropomyosin. Sítovité propojení aktinu a myosinu netvoří proužky ATPáza myozinu je mnohem pomalejší, což vede k pomalejší kontrakci, ale udrží stah s mnohem menším vynaložením energie.

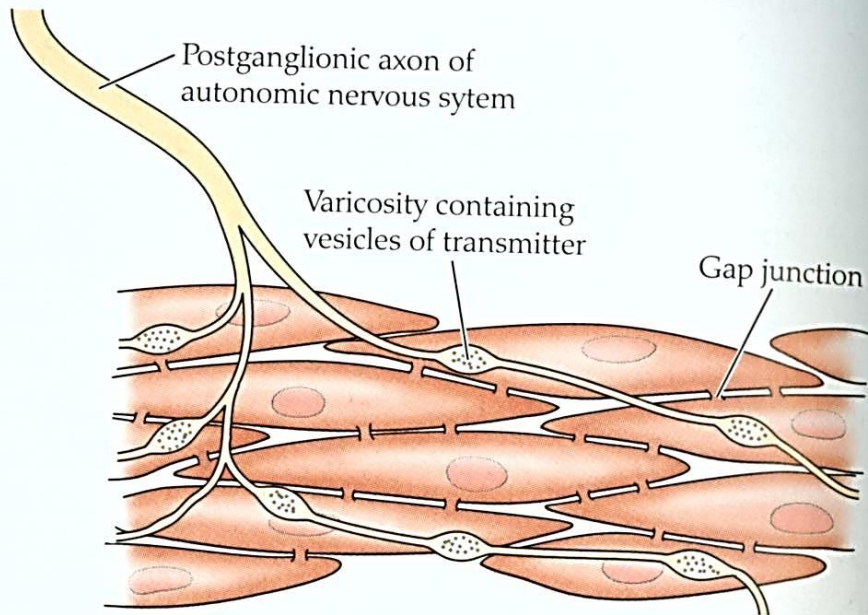


# Hladká svalovina

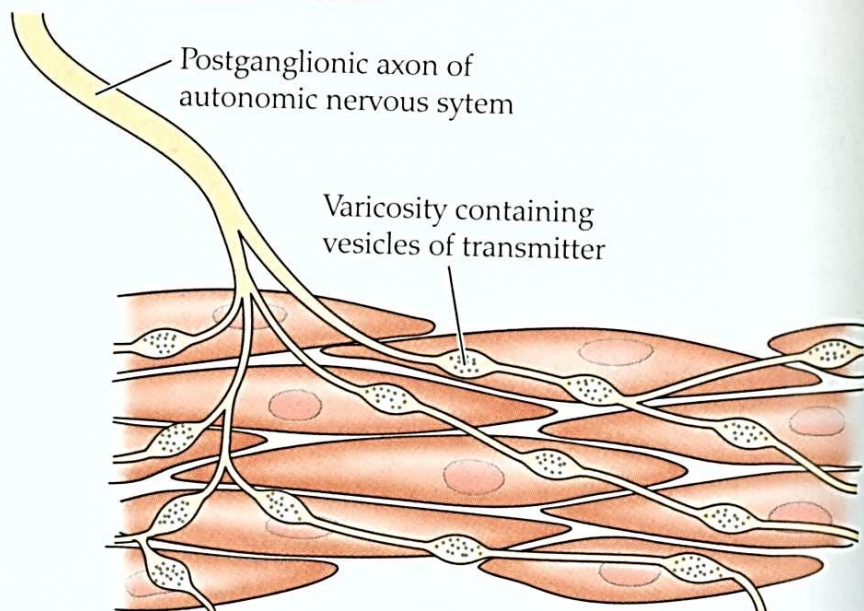
Jednotková (a) a vícejednotková (b) organizace podle propojení gap junction vodivě propojující buňky.

Jednotková potřebuje méně varikosit

(a) Single-unit smooth muscle

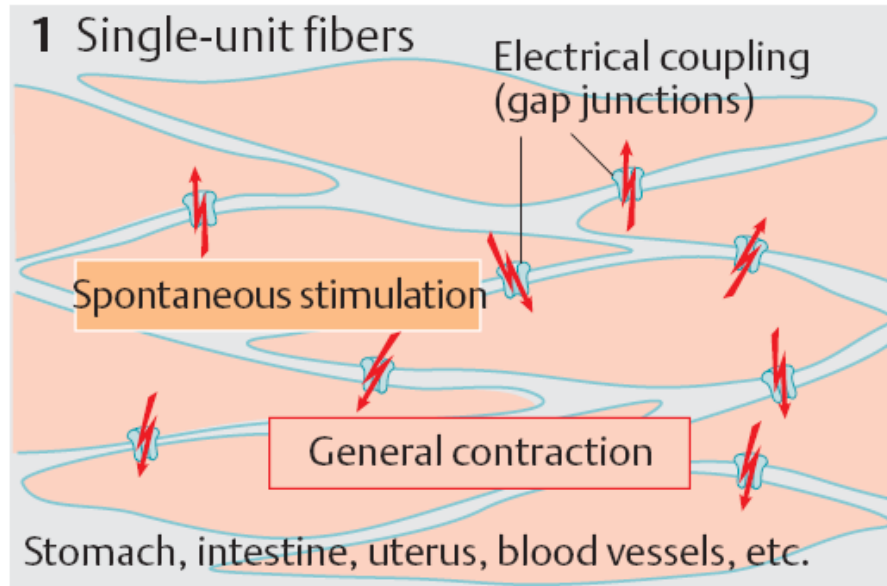


(b) Multiunit smooth muscle

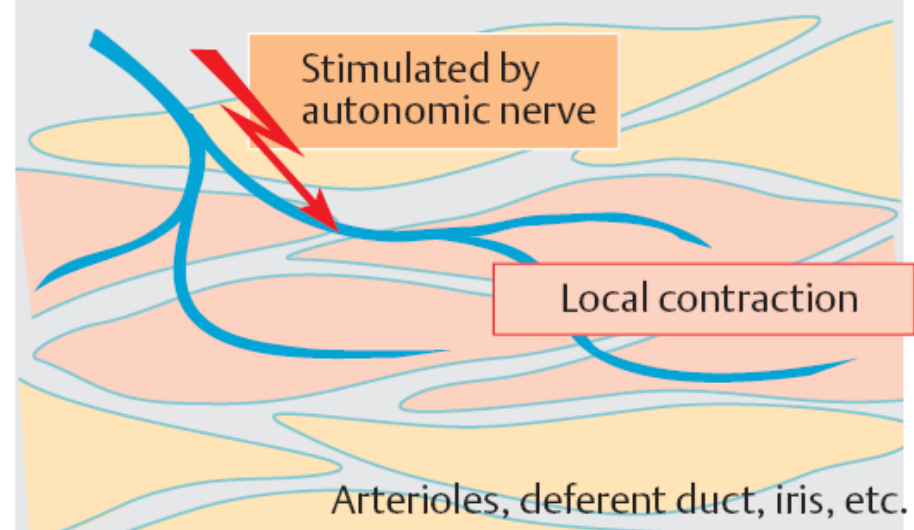


# Hladká svalovina – různé podněty

## A. Smooth muscle fibers according to type of stimulation



## 2 Multi-unit fibers



**Stah lze vyvolat:**

Nervově

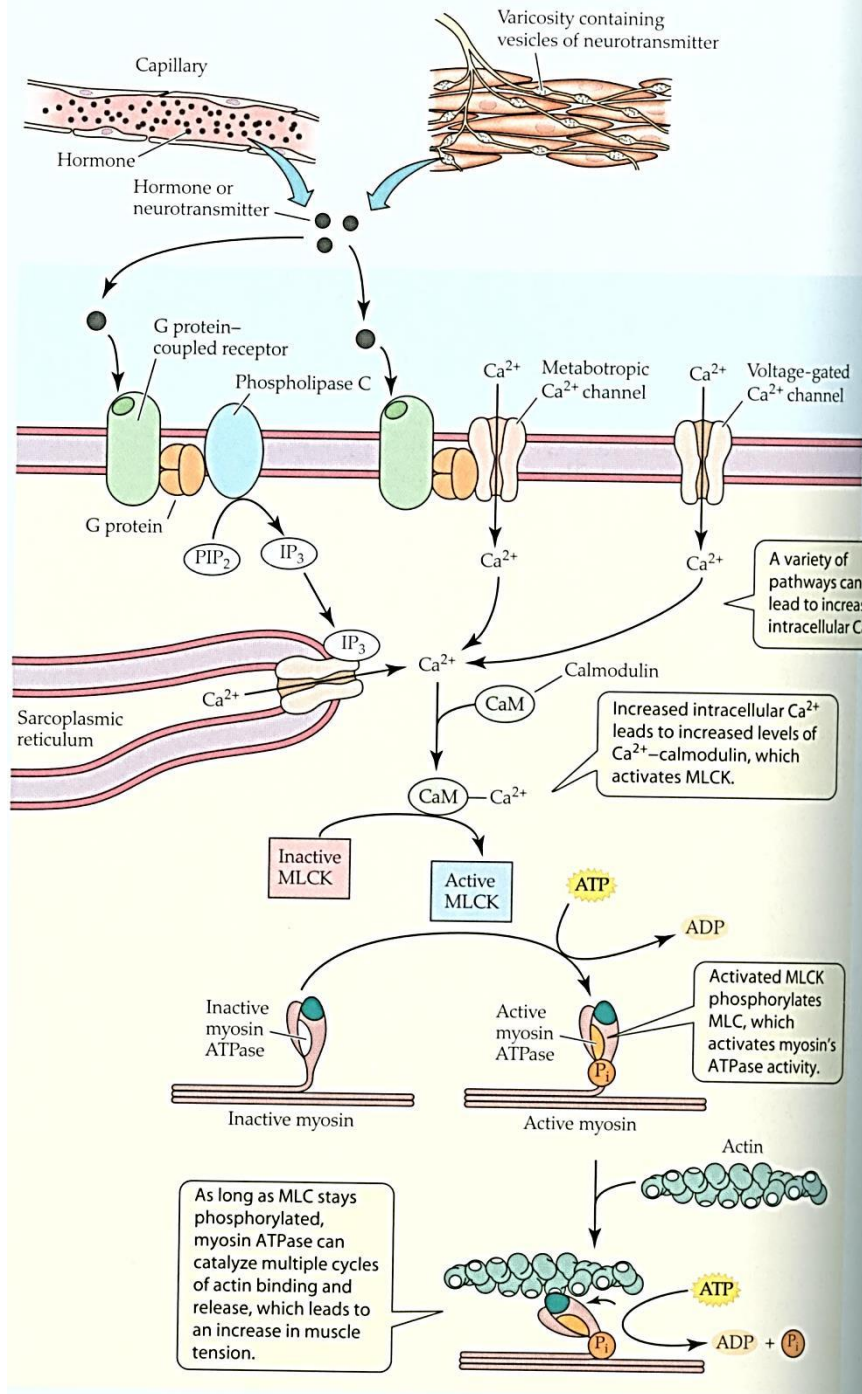
Látkově

Mechanicky

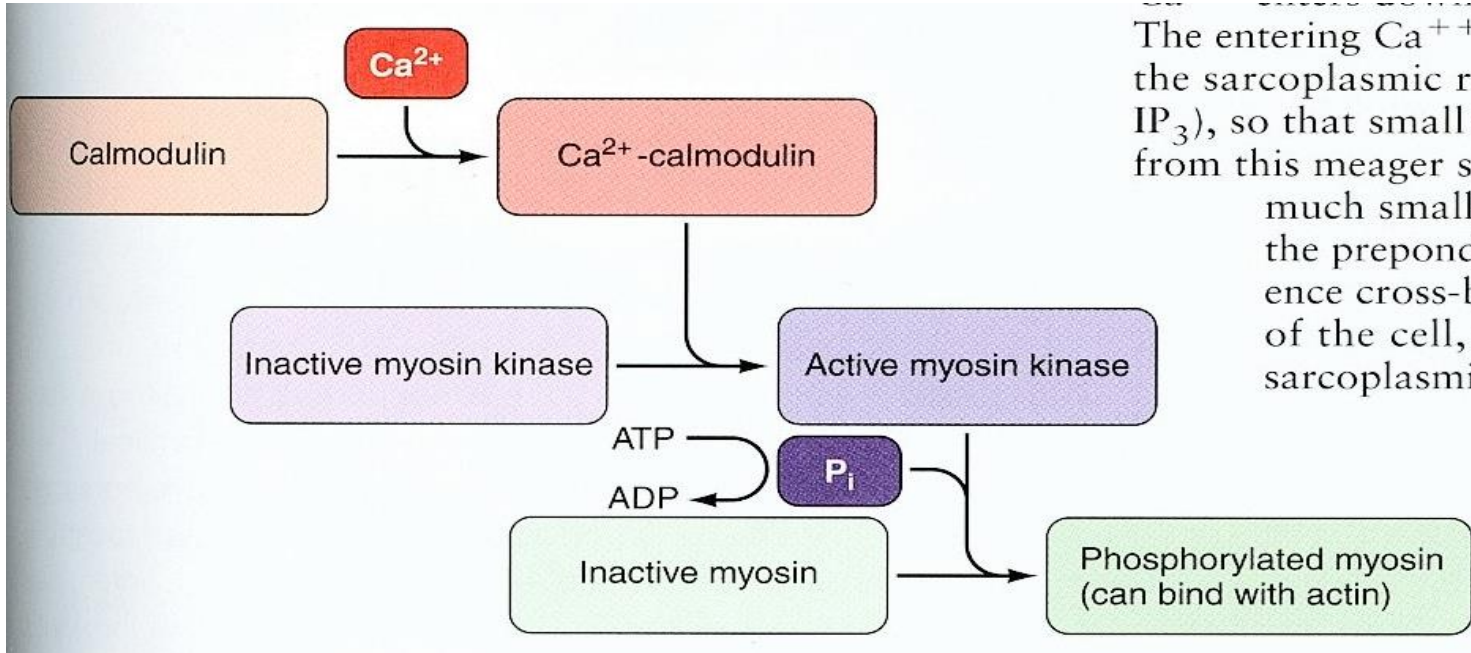
Autonomně - pacemakery

# Hladká svalovina - kontrakce

Řízení stahu je opět přes Ca, ale jinak, přes tlusté (myosinové) vlákno. MLCK (myosin light chain kinase). Fosforyluje jednu myosinovou hlavičku, což vede ke zvýšení ATPázové aktivity a spustí navázání na aktin.



The entering  $\text{Ca}^{++}$  triggers the sarcoplasmic release of  $\text{IP}_3$ , so that small amounts from this meager source can have much smaller effects than the preponderant source of cross-links in the cell, via the sarcoplasmic reticulum.



## Kalciová aktivace myozinu hladké svaloviny.

$\text{Ca}^{2+}$  vstupuje po podráždění především z extracelulárního prostoru a v komplexu s kalmodulinem aktivuje myozin kinázu. Ta fosforyluje myozin, který je poté schopen interagovat s aktinem a začít stahovat.

# Srovnání charakteristik 3 základních typů svalů

## A. Stavba a funkce hladkého, srdečního a kosterního svalu

### Stavba a funkce

motorická  
ploténka

žádná

žádná

ano

vlákna

fuziformní, krátká (max. 0,2 mm)

větvená

cylindrická, dlouhá (max. 15 cm)

mitochondrie

nečetné

četné

nečetné (v závislosti na typu svalu)

buněčné jádro/vlákno

1

1

četná

sarkomera

žádná

ano, délka max. 2,6  $\mu$ m

ano, délka max. 3,65  $\mu$ m

elektrické spřažení

částečně (jednotkový typ)

ano (funkční syncytium)

ne

sarkoplazmatické  
retikulum

málo vyvinuté

přiměřeně vyvinuté

silně vyvinuté

$\text{Ca}^{2+}$ -„spínač“

kalmodulin/kaldesmon

troponin

troponin

pacemaker

zčásti spontánně rytmicky činný ( $1 \text{ s}^{-1}$ – $1 \text{ h}^{-1}$ )

ano (sinoatriální uzel asi  $1 \text{ s}^{-1}$ )

ne (nutný nervový podnět)

odpověď na podnět

změna tonu nebo frekvence rytmu

„vše nebo nic“

odstupňovaná

tetanizovatelný

ano

ne

ano

pracovní rozsah

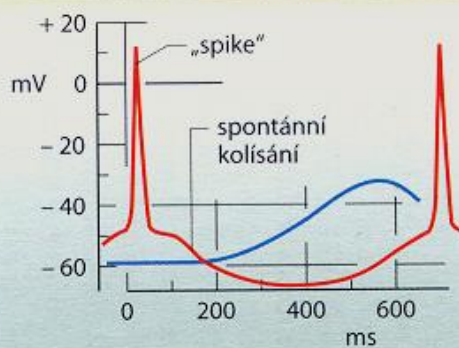
křivka délka/síla  
je proměnlivá

na vzestupu křivky síla/délka  
(viz tab. 2.15 E)

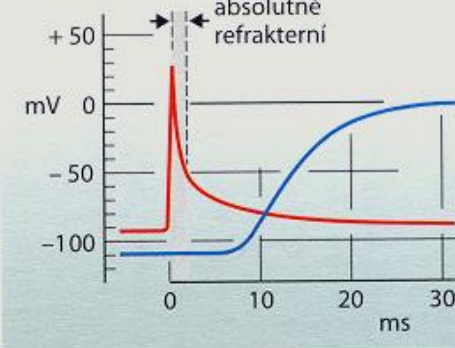
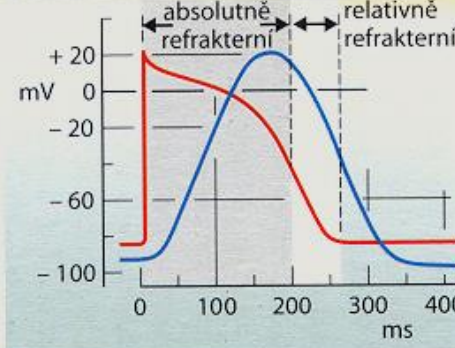
v maximu křivky síla/délka  
(viz tab. 2.15 E)

### odpověď na podnět

potenciál



napětí svalu



## **Zdroje některých animací:**

<https://neuroscience5e.sinauer.com/index.html>

<http://www.sumanasinc.com/webcontent/animation.html>

<http://highered.mheducation.com/sites/dl/free/0072437316/120060/ravenanimation.html>

<http://www.physiome.cz/atlas/>